A high-magnification fluorescence micrograph showing a complex network of neurons. The cell bodies (soma) are stained with a red fluorescent dye, appearing as small, bright spots. The intricate branching structures of the neurons, known as dendrites and axons, are stained with a blue fluorescent dye, appearing as thin, winding lines that connect the different neurons.

Neuro-Electronic Interface

Benoît CHARLOT

Outcome

1. Electrophysiology

Neurons, synapses, Nervous influx

Action potentials and Hodgkin Huxley model

Patch clamp

2 Neuron-Electrode interface

Neuron on electrode structure

Modelling

Extracellular potentials analysis

3. Technology and Application

Planar Micro Electrode Array

Implantables Electrodes

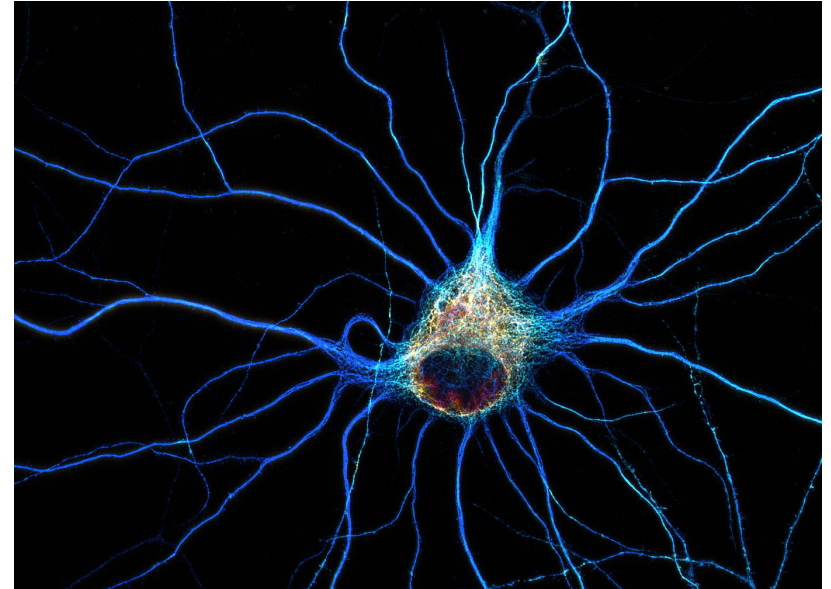
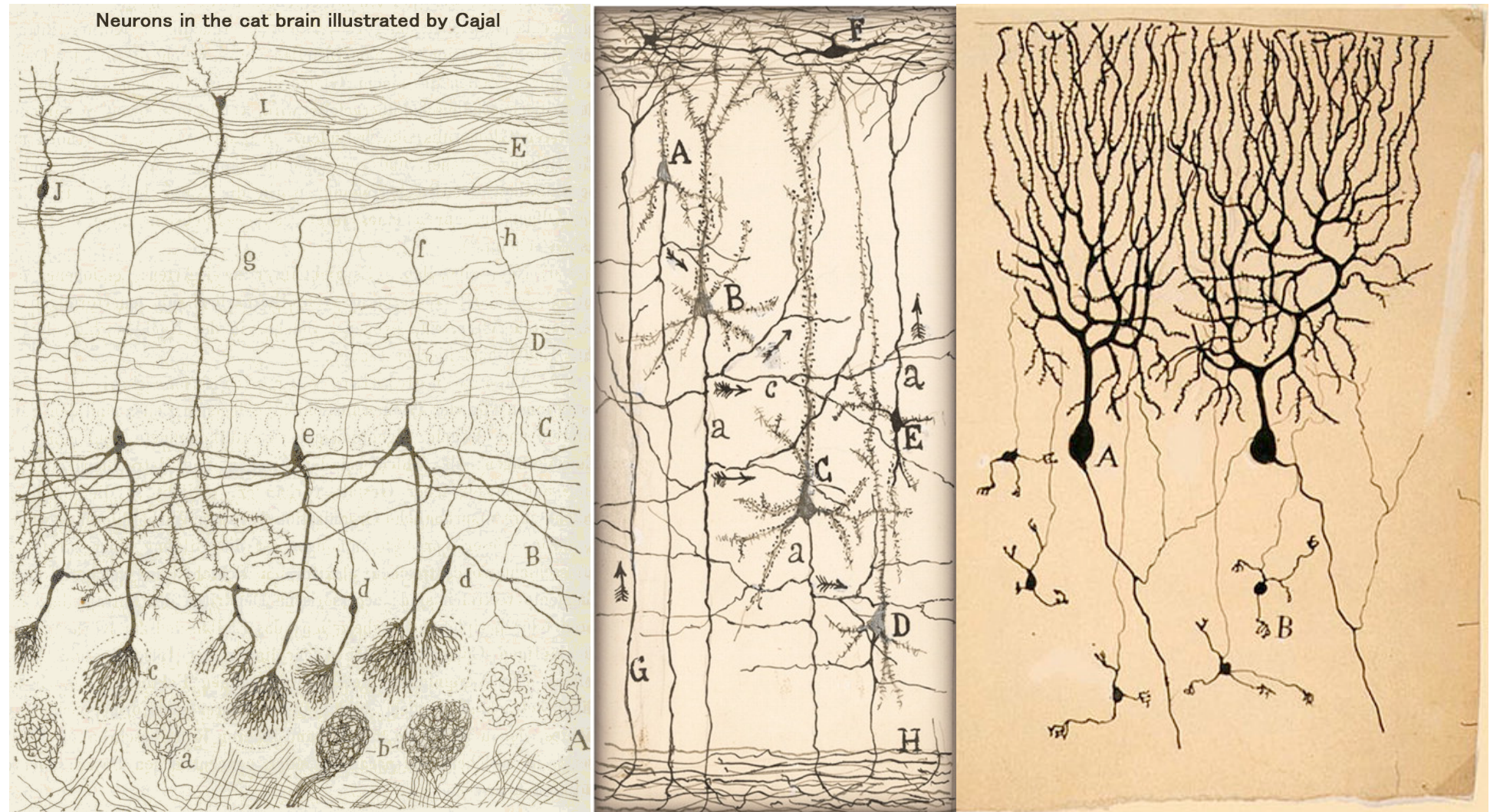


Image : Christophe Leterrier

Neurons



Santiago Ramón y Cajal (*Recuerdos de mi Vida*, Moya, Madrid, 1917)

Santiago Ramón y Cajal

Neuro-scientist



Neurons

One multipolar Neuron:

1 axon

Several dendrites

1 000 synapses

One human brain

100 Billions neurons

10 000 billions dsynapses

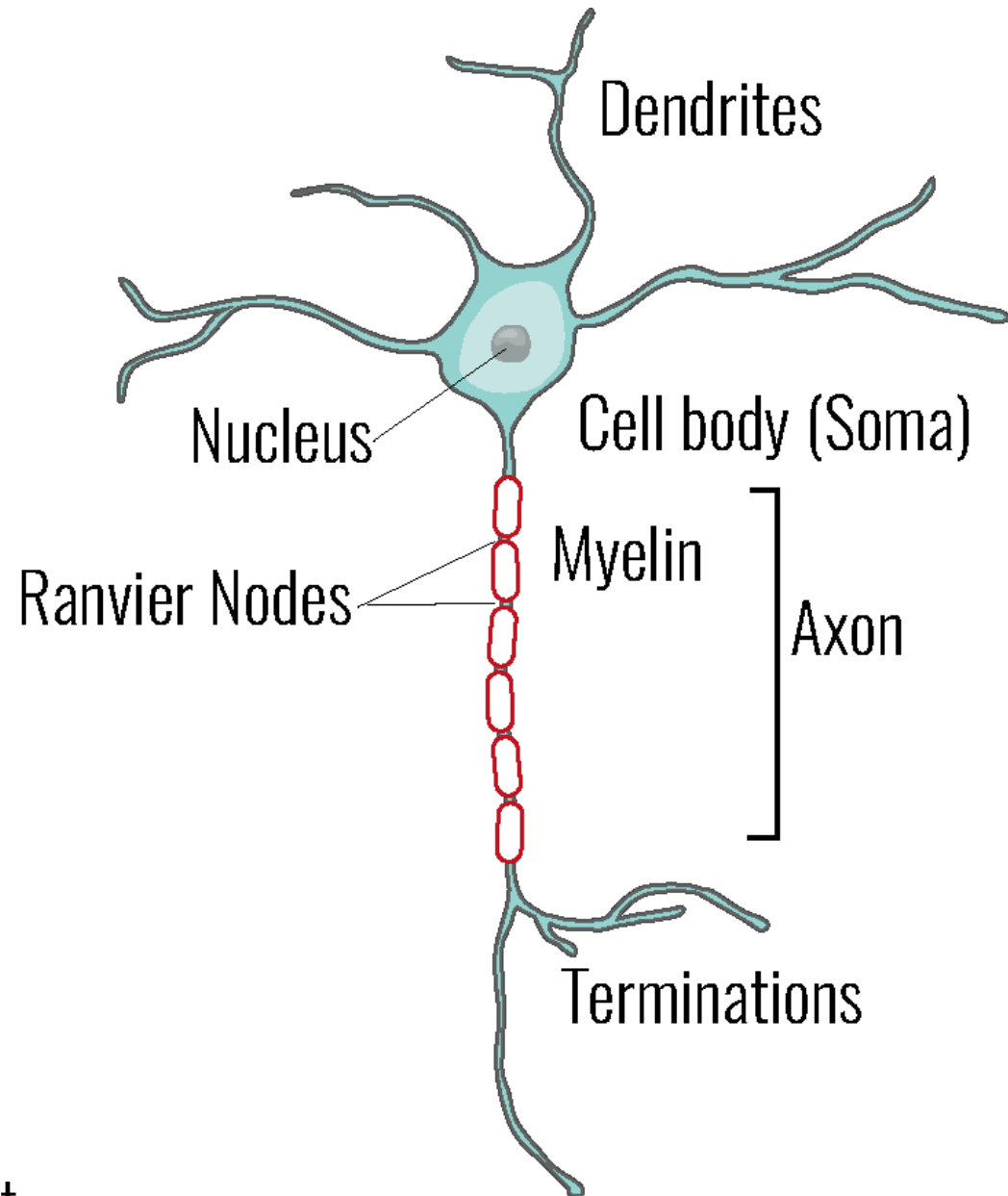
Types :

Afferent (Sensitive periphery)

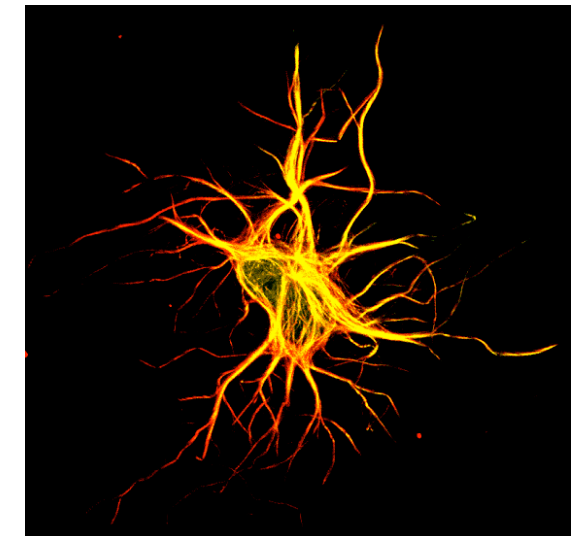
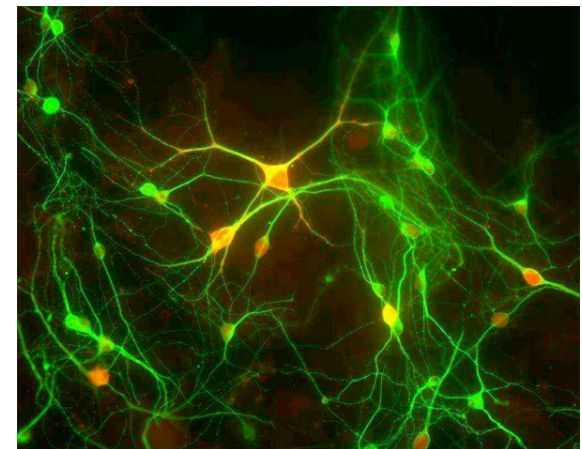
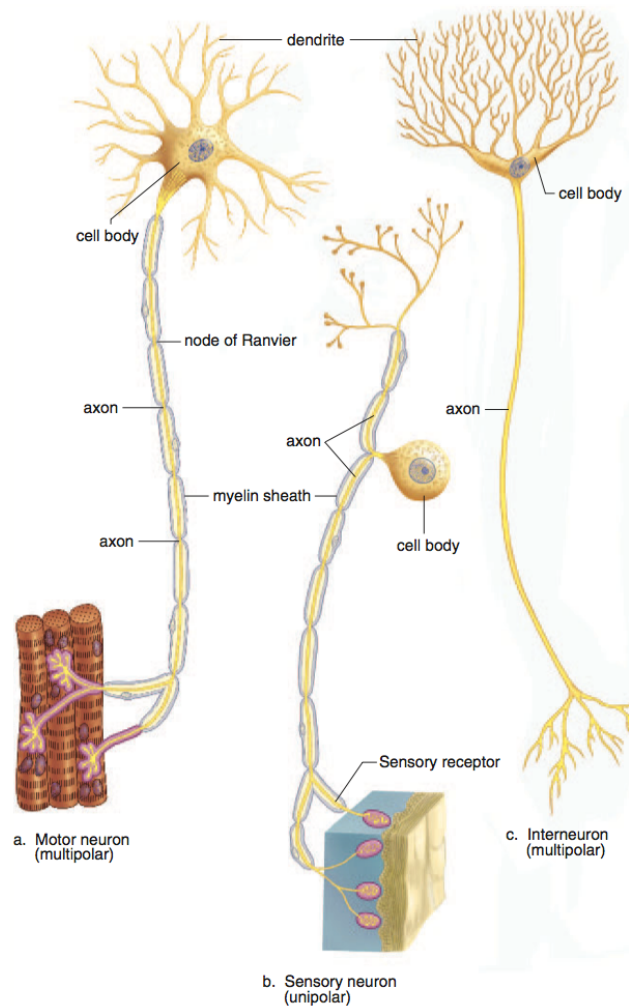
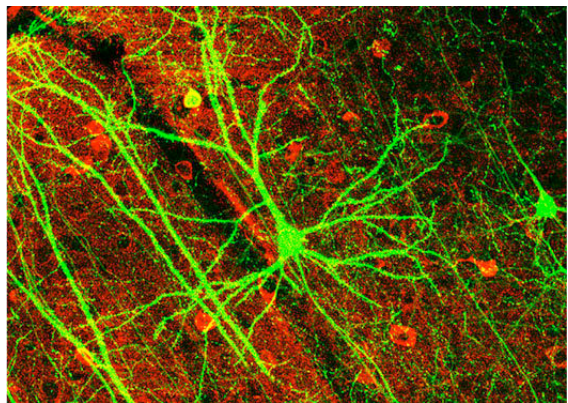
Efferents (muscles and glands)

Interneurons (Short and long)

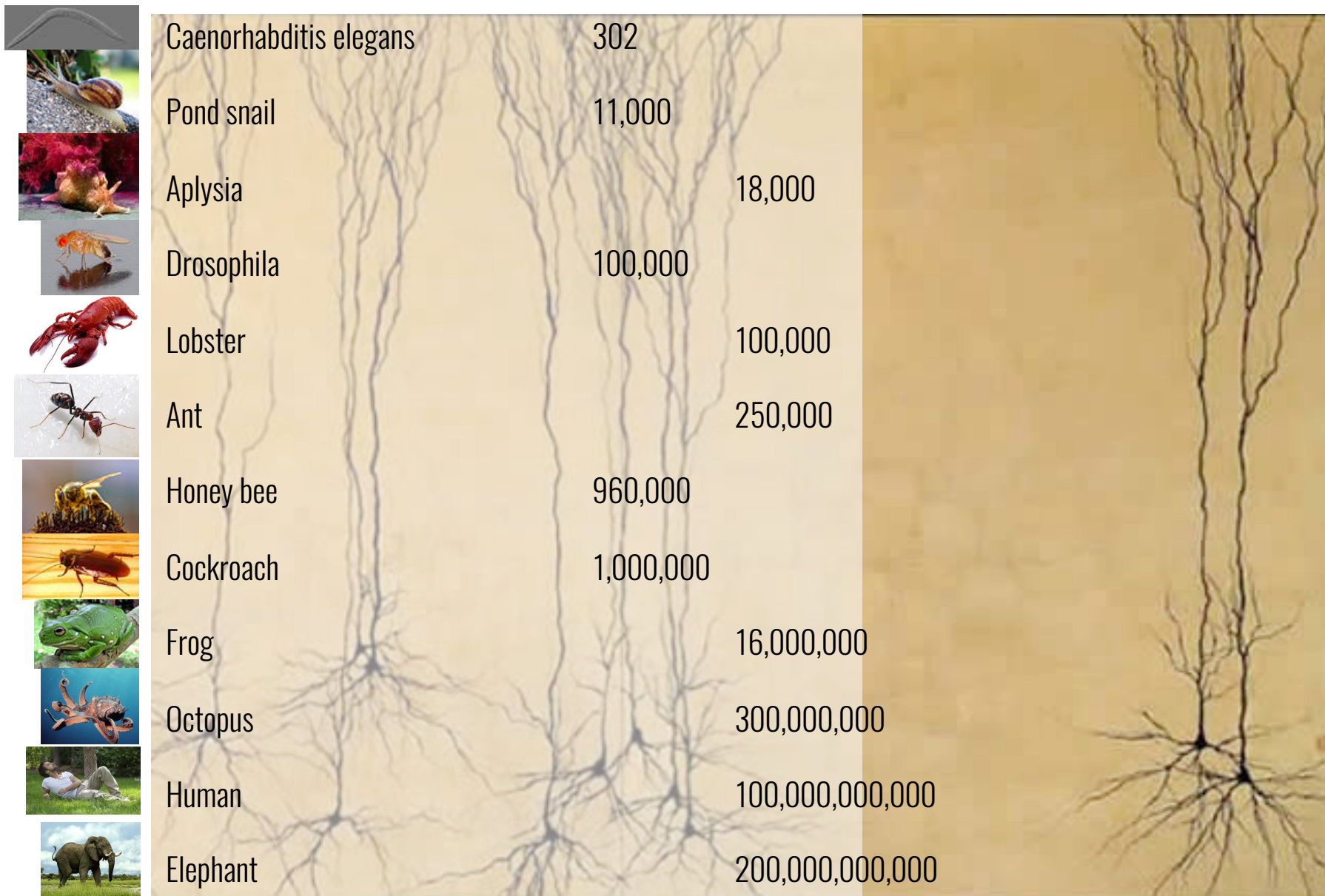
+glial cells, astrocytes, oligodendricytes



Neurons



Number of neurons by species



A brain in action

Crystal skull 50,000 neurons in the outer layers of the brain.



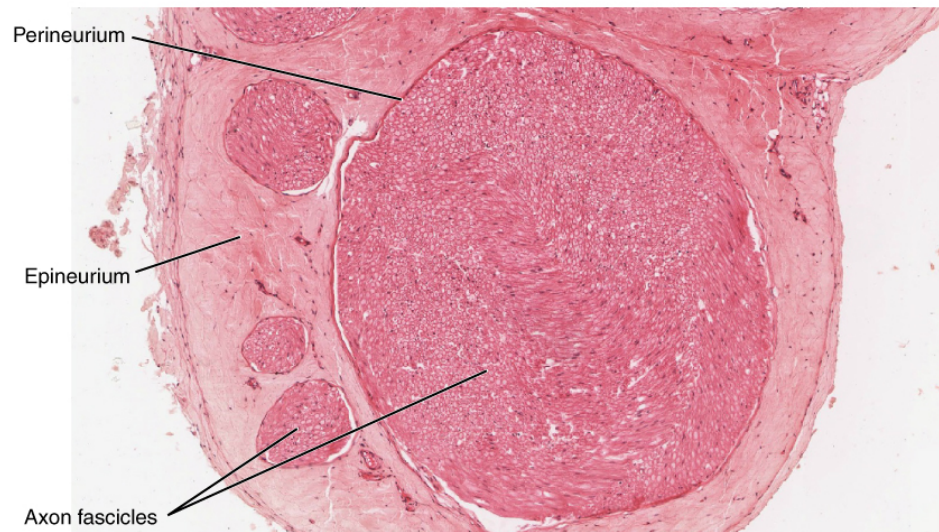
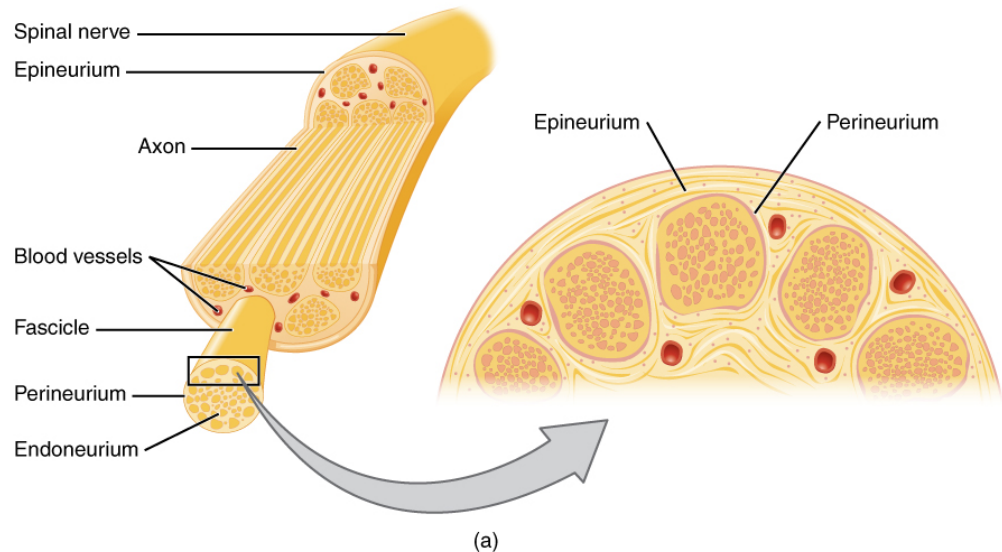
Kim T.H. et al. *Cell Rep.* 17, 3385-3394 (2016)

Nerves

cable-like bundle of axons

Afferent nerves conduct signals from sensory neurons to the central nervous system, for example from the mechanoreceptors in skin.

Efferent nerves conduct signals from the central nervous system along motor neurons to their target muscles and glands.



(b)

By OpenStax College - Anatomy & Physiology, Connexions Web site. <http://cnx.org/content/col11496/1.6/>, Jun 19, 2013., CC BY 3.0, <https://commons.wikimedia.org/w/index.php?curid=30147983>

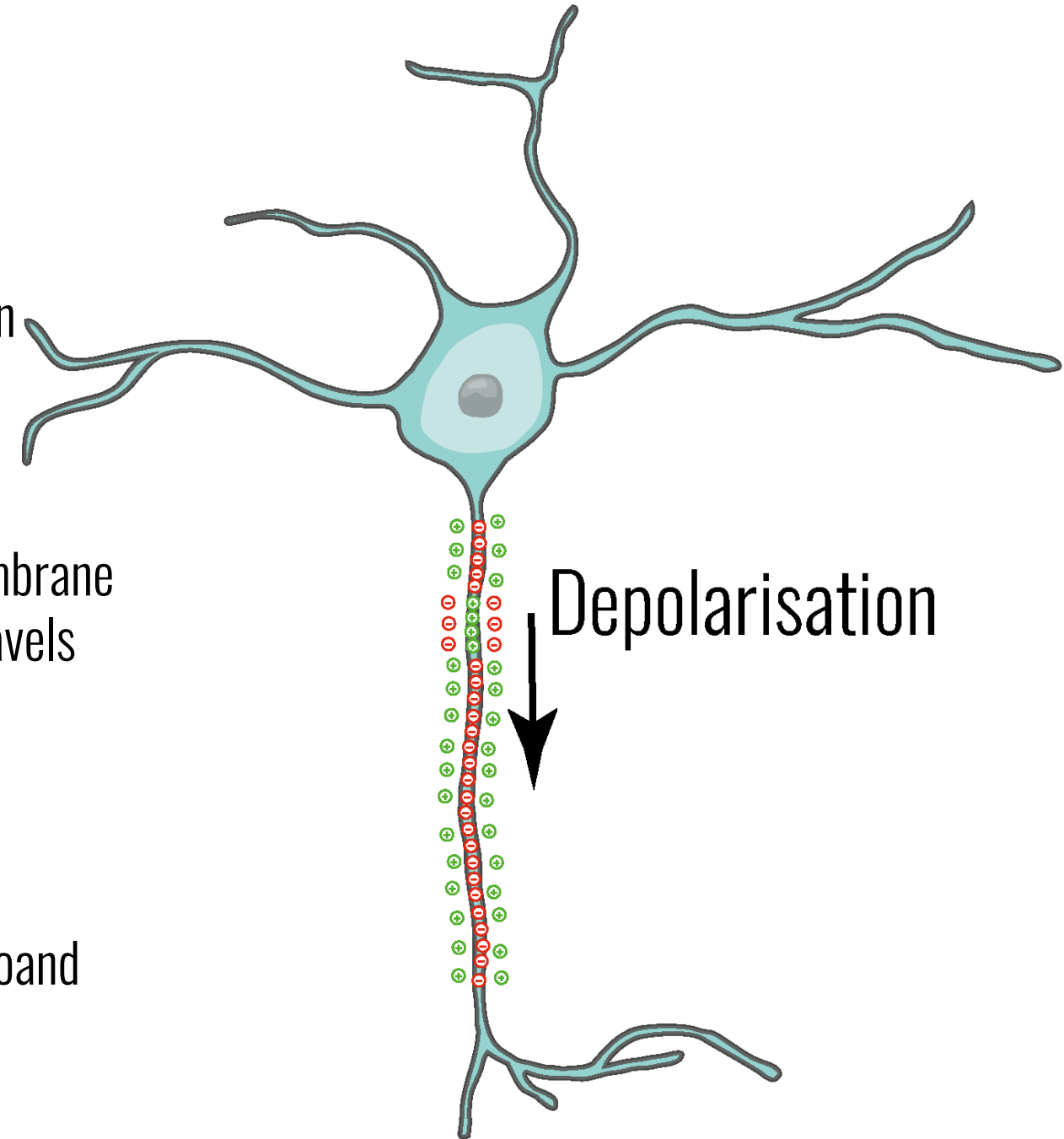
Nervous influx

The Nervous influx is a set of Action Potentials (AP)

An AP is the propagation of a **depolarisation wave** of the membrane that initiate in the cell body and travels down the terminations

~digital signal

Information coding by the number and frequency of Aps

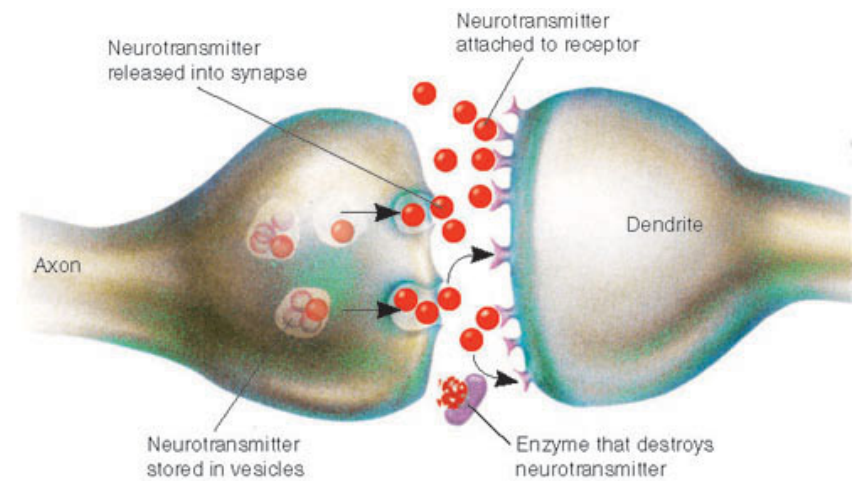


Synapses

It is the zone of contact that spread between two neurons or between one neuron and another cell

Chemical synapse uses neurotransmitters
Electrical synapse

Synaptic cleft : between **10 and 40 nm**



Synapses

Synapses transmit AP from one cell to another

Briefly :

The arrival of one AP in the synaptic cleft induces the progressive delivery of neurotransmitters

Diffusion of neurotransmitters in the cleft

Neurotransmitters are captured by receptors

Excitation or inhibition



Synapses

The **synaptic potential** is

- Weak (0.1-10 mV)
- progressive (~analogic)
- Passive propagation (diffusion driven)
- hyperpolarisation, or depolarisation

The **Action potential** is

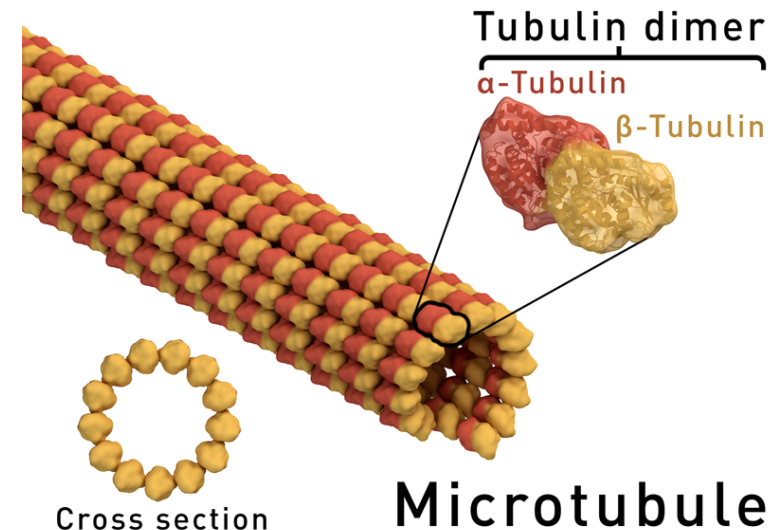
- High (70-110 mV)
- « all or nothing» (~digital)
- Active propagation
- depolarisation

Axonal transport

Neurotransmitters are synthetised in the cell body

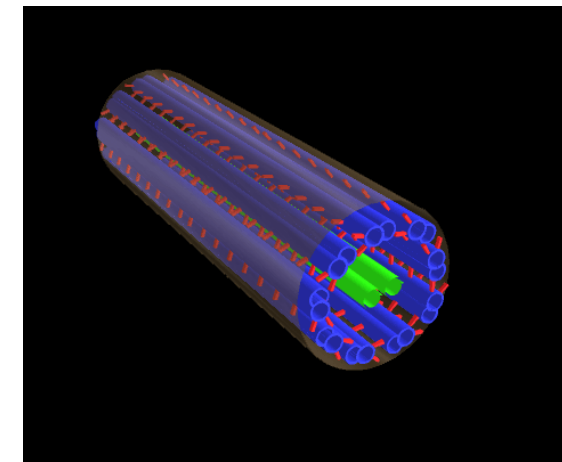
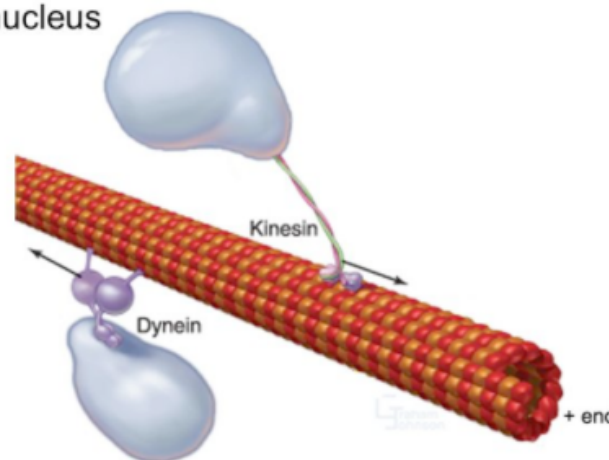
Some axons can extend up to 1 meter

How NT are sent from the cell body down to the synapses?

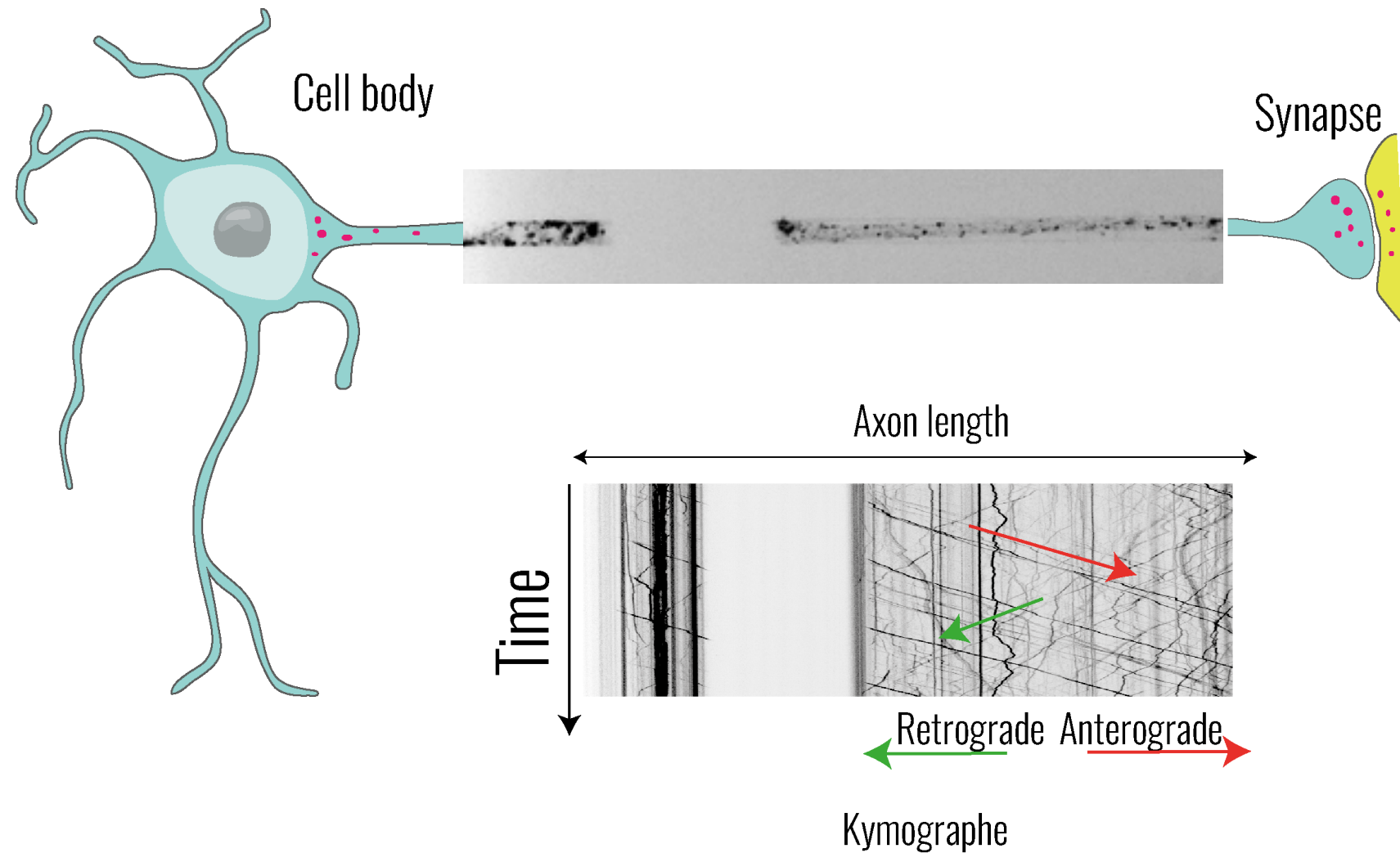


Microtubule

- Vesicular transport
 - Kinesin
 - Toward +
 - Away from nucleus
 - Dynein
 - Toward –
 - Toward Nuc
 - 0.1-1 um/s



Axonal transport

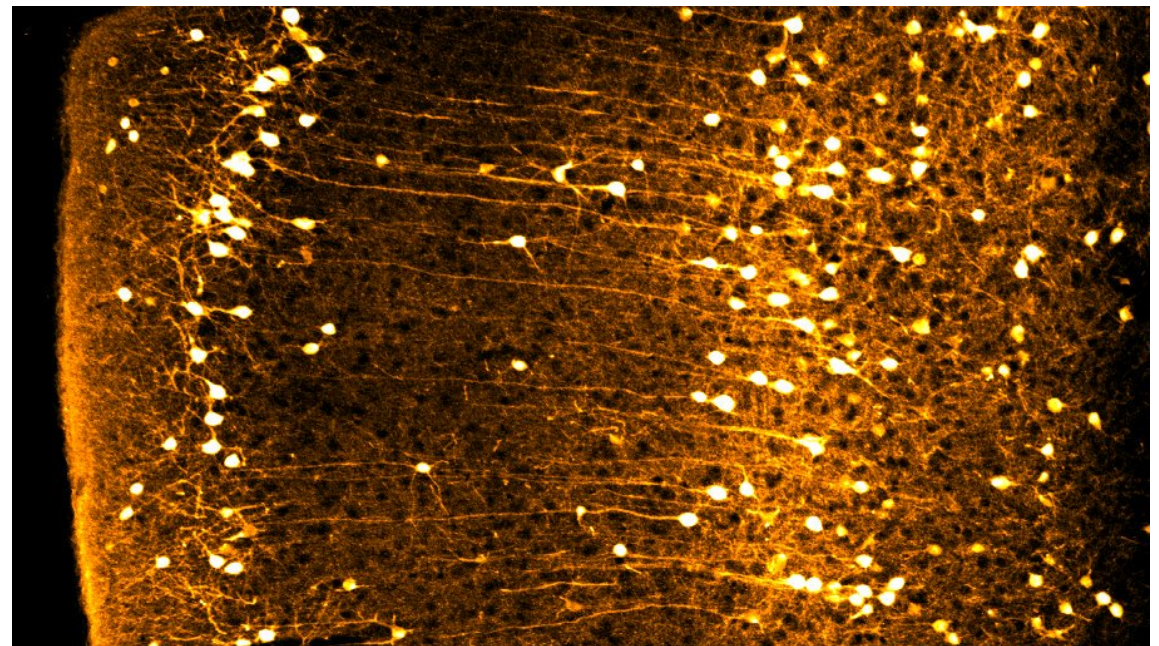
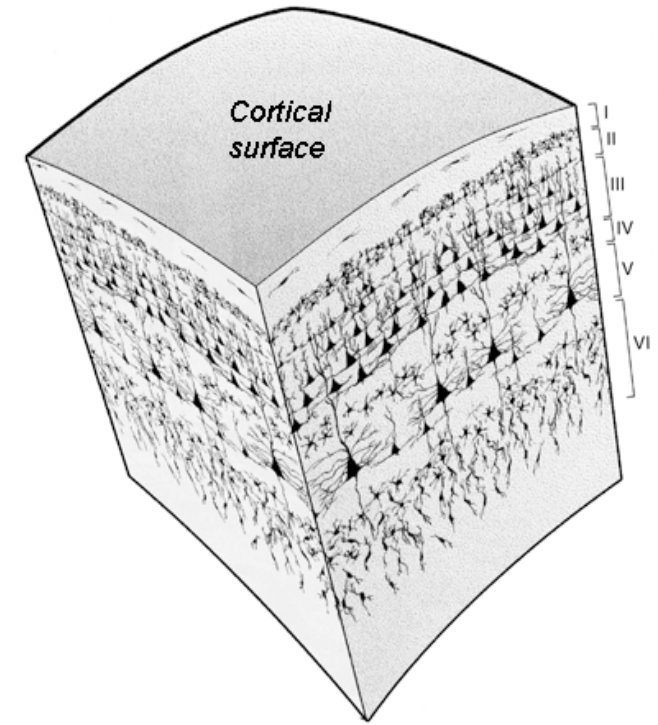
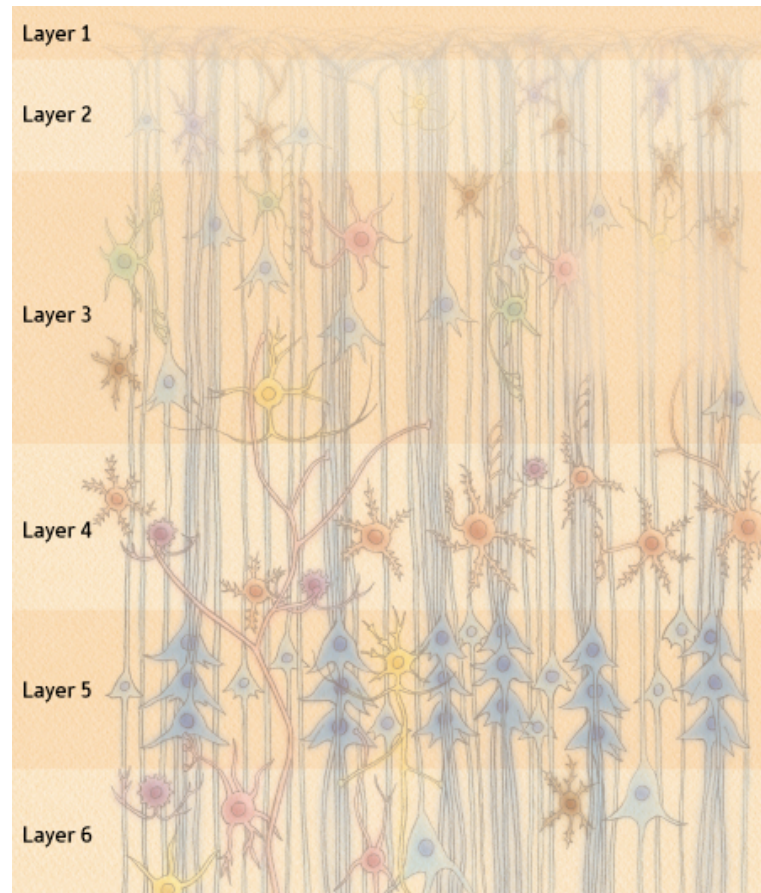


Neuronal Network



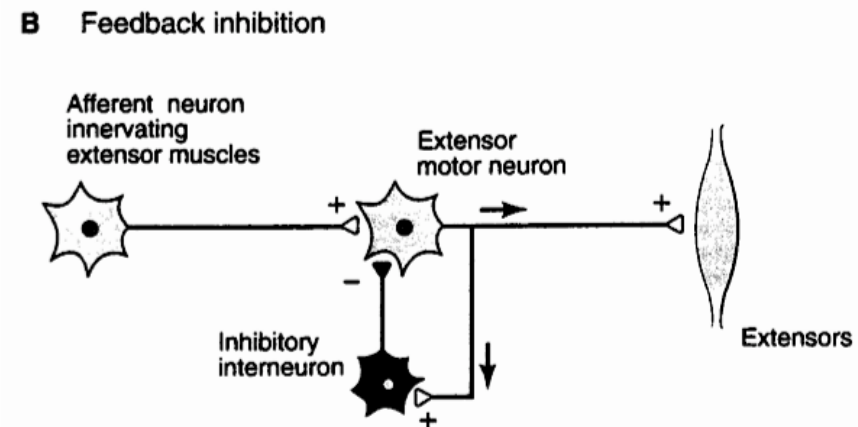
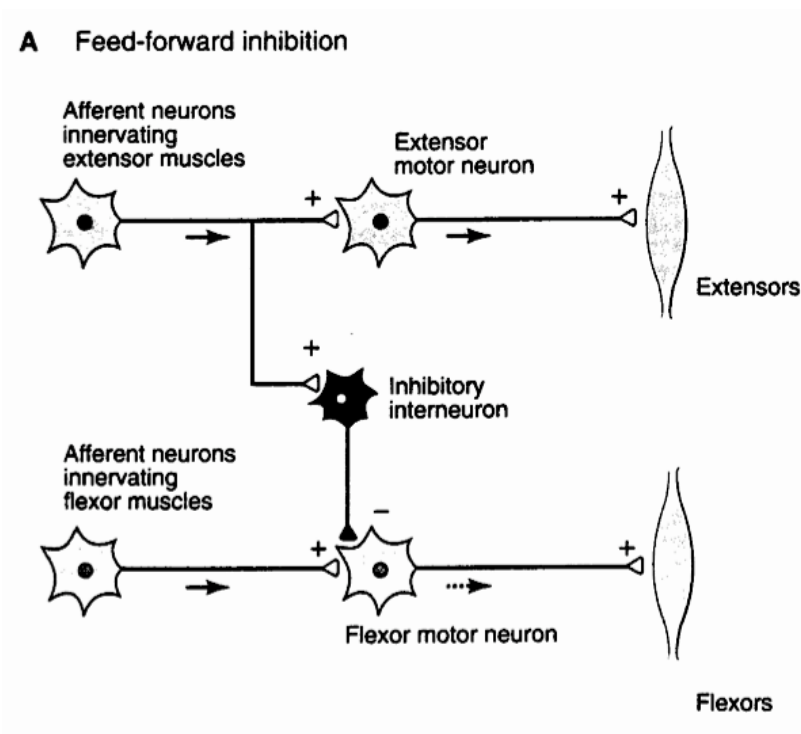
Neuronal Network

Cortical layers



Neuronal Network

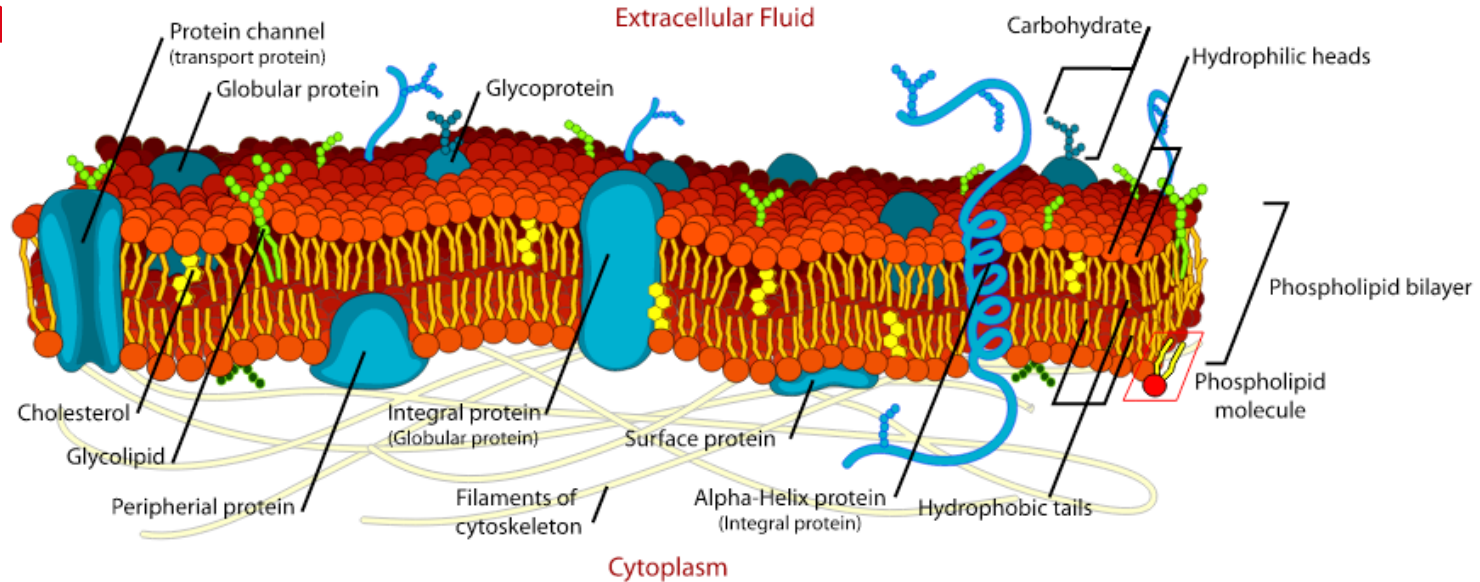
Exemples



Cell Membrane

Thickness **7nm**

Phospholipids
Lipid bilayer



By LadyofHats Mariana Ruiz - Own work. Image renamed from File:Cell membrane detailed diagram.svg, Public Domain, <https://commons.wikimedia.org/w/index.php?curid=6027169>

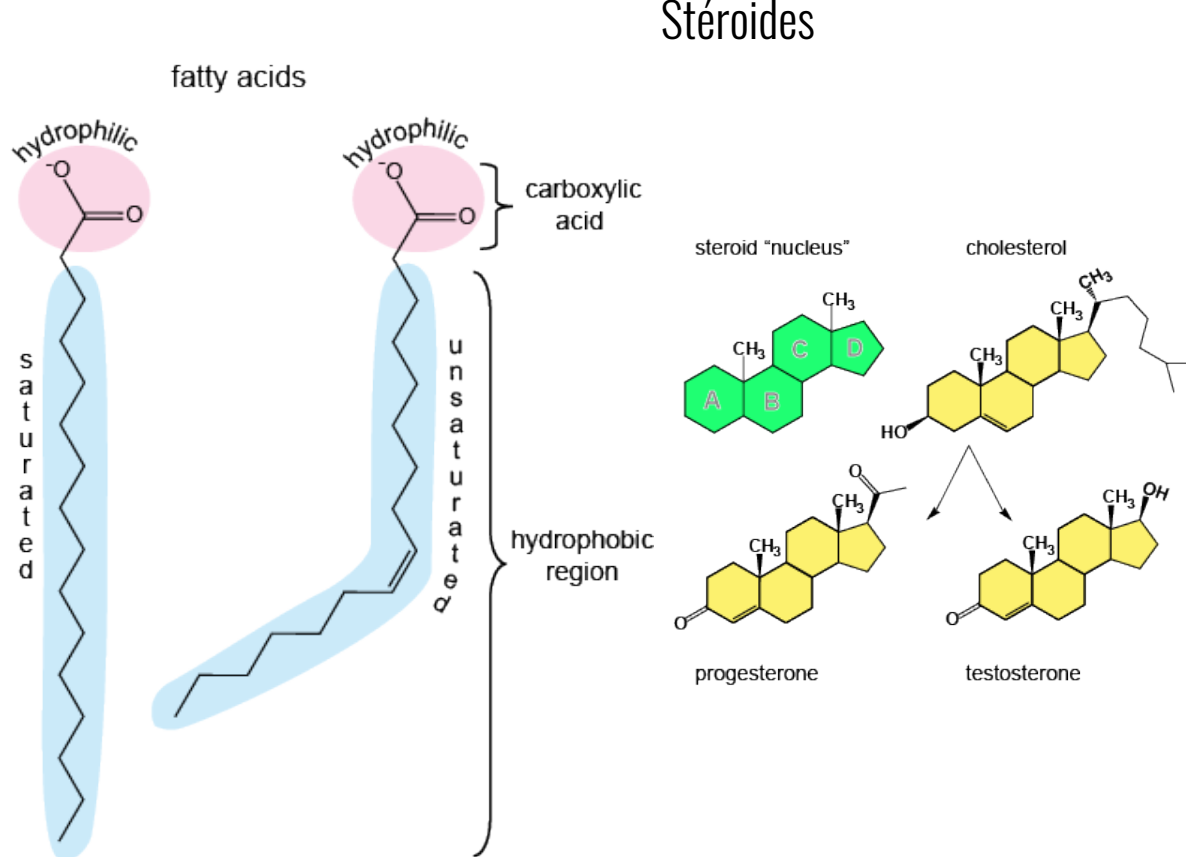
Cellular membrane divide intra and extracellular compartments

Ion concentrations in these compartments are different

This difference induce a voltage across the membrane

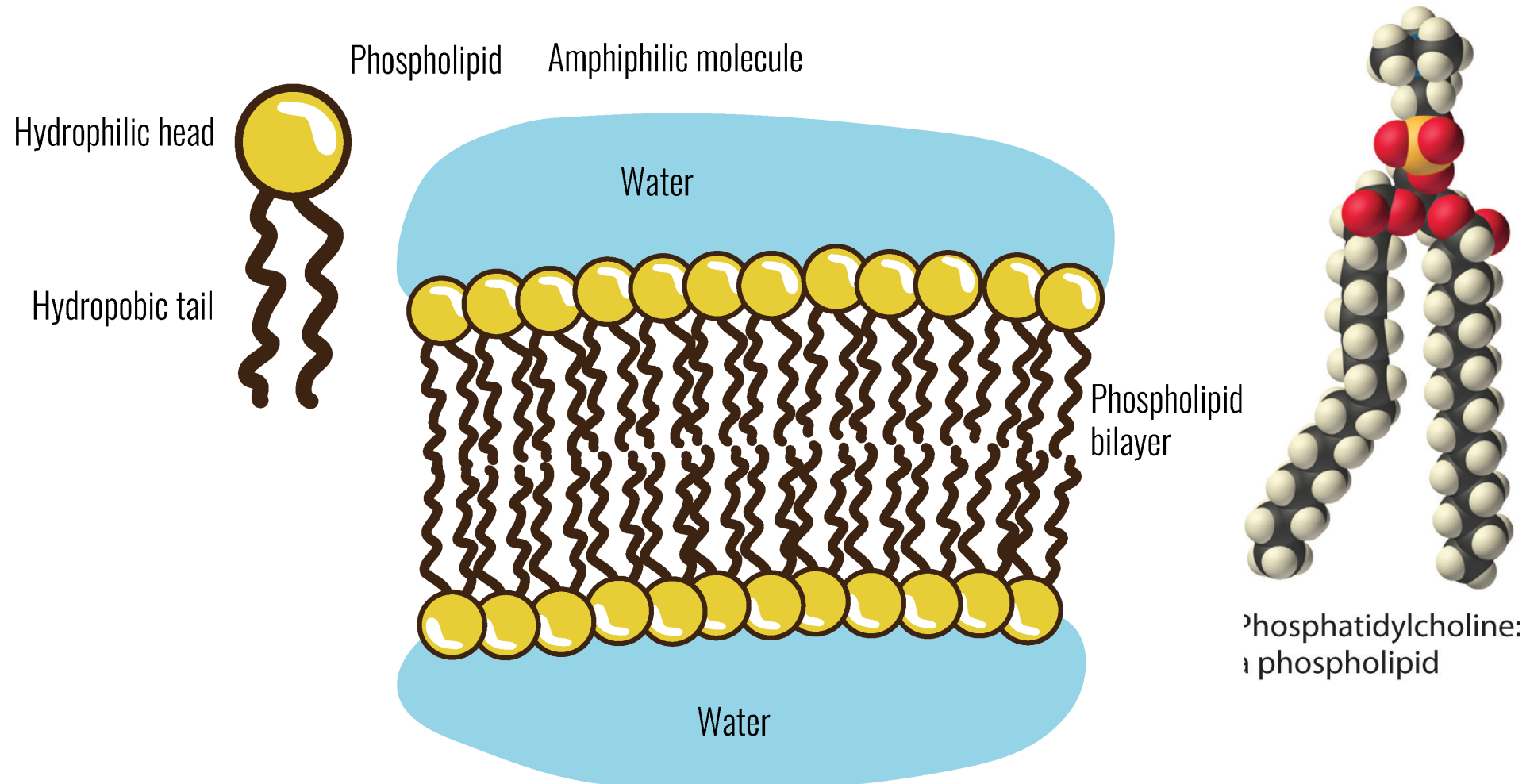
Lipids

Acides gras (huiles,
graisses, cires)



Non polaires

Phospholipids



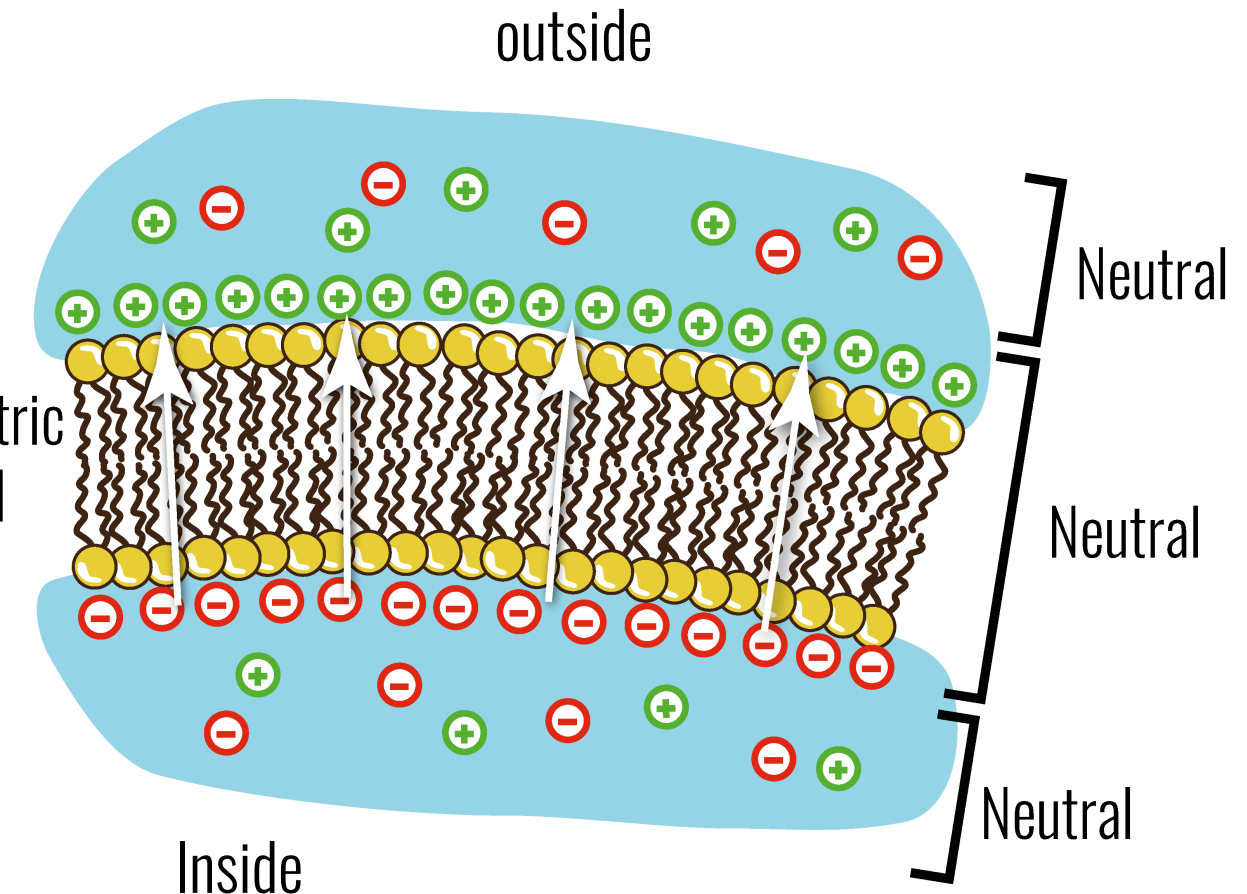
Field in membrane

Membrane resting potential= **65mV**

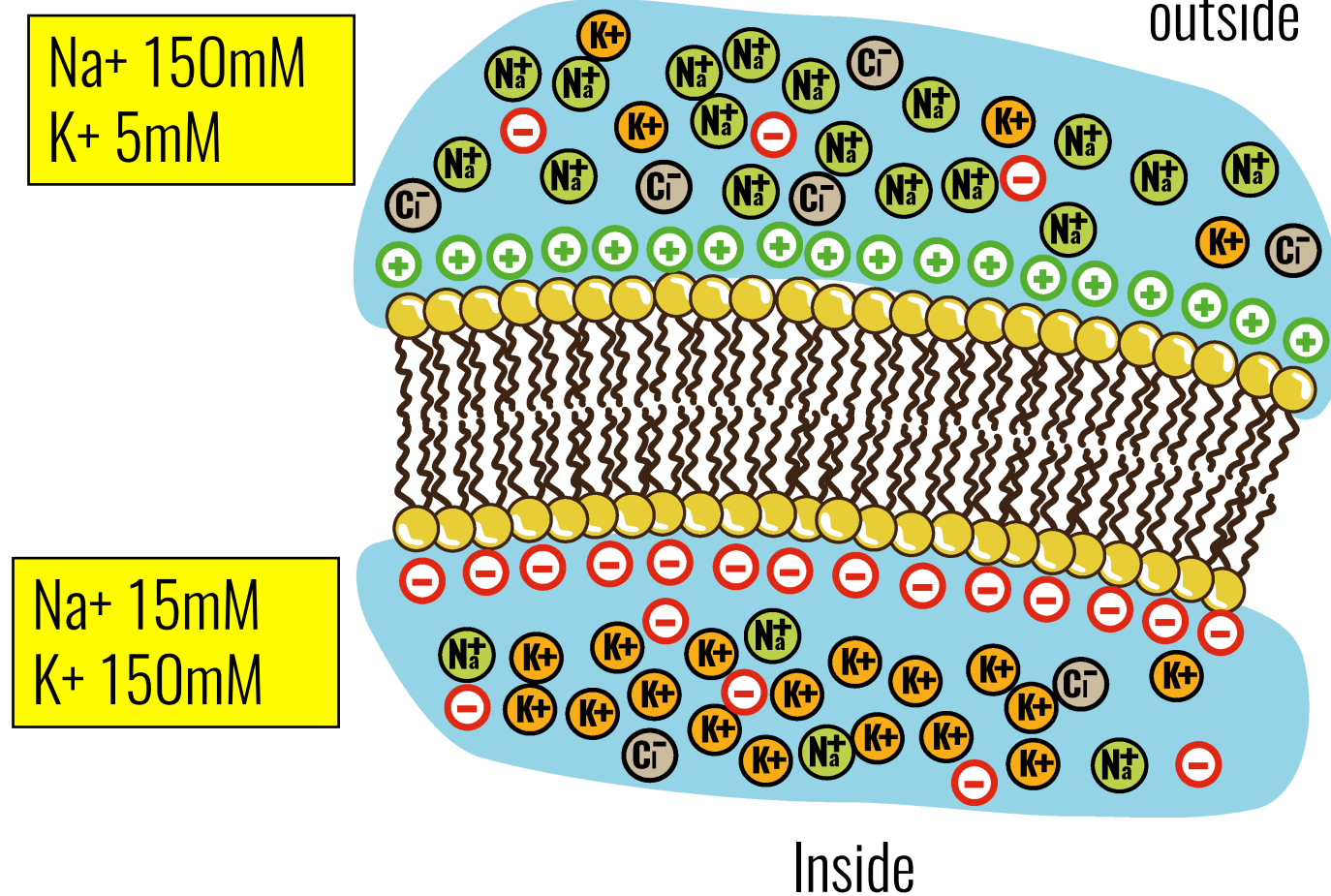
Electric field : **10MV.m⁻¹**

If the membrane potential is decreased of 10mV (-65 to -55) an action potential is fired

The membrane is an insulator
Ions can pass through with membrane proteins (with leaks)



Ions and charges in neurons



The electrochemical potential can be computed with **Nernst equation**

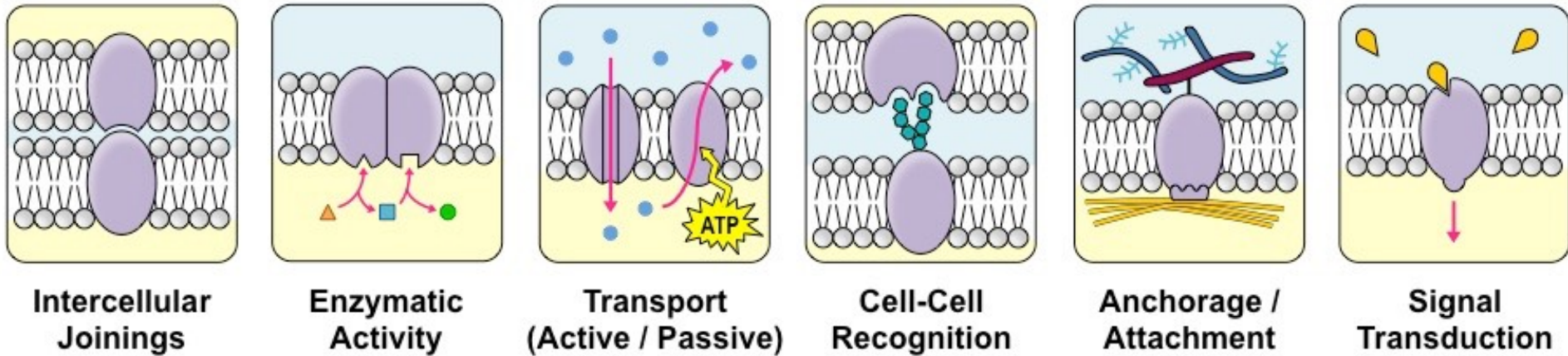
$$E_K = - \frac{RT}{ZF} \log \frac{[K]_{\text{int}}}{[K]_{\text{ext}}}$$

R : Perfect gases constant
Zx: valence of ion ;

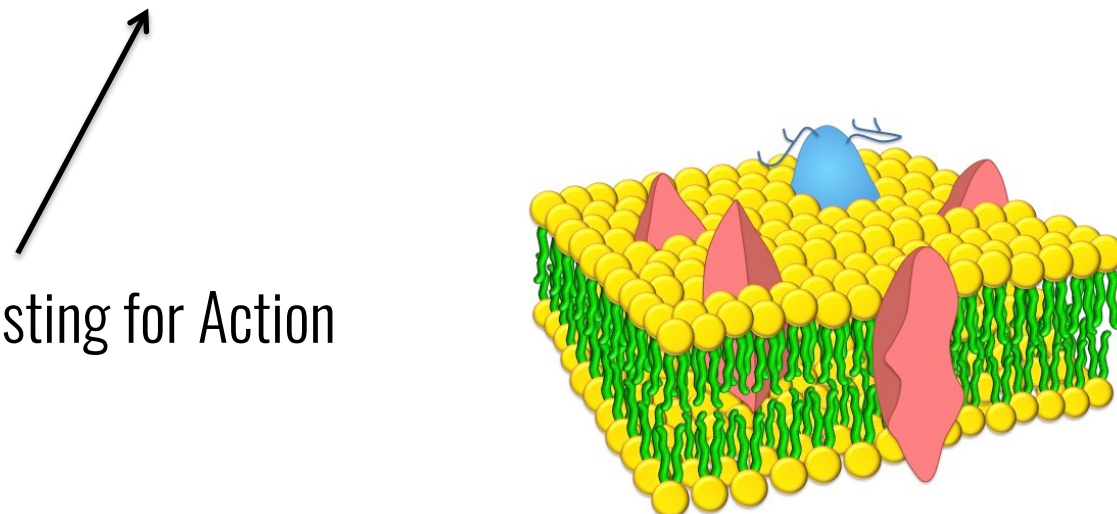
T : Absolute temperature
F : Faraday number

Membrane Proteins

Molecules engaged in the membrane, several functions



These ones are interesting for Action Potential



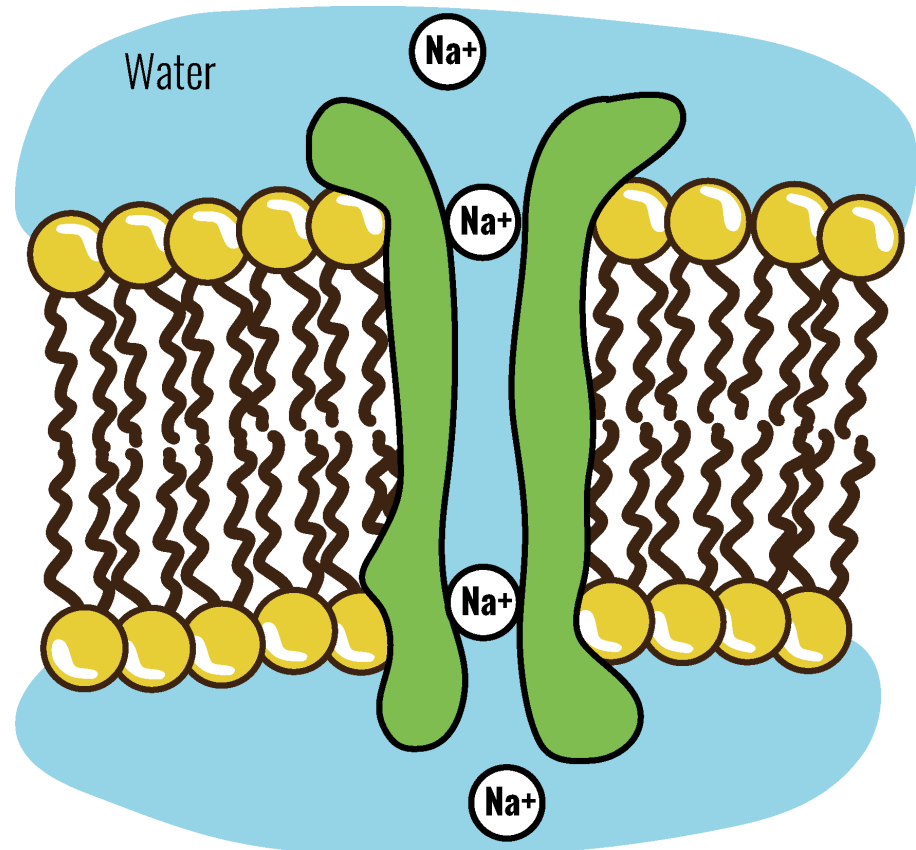
Ion Channels

Ion Channels are membrane proteins gating the flow of ions across the cell membrane

Selective valves permeable to unique ion species

The rate of ion transport : 10^6 ions/s

There are over 300 types of ion channels in a living cell



Ion Channels

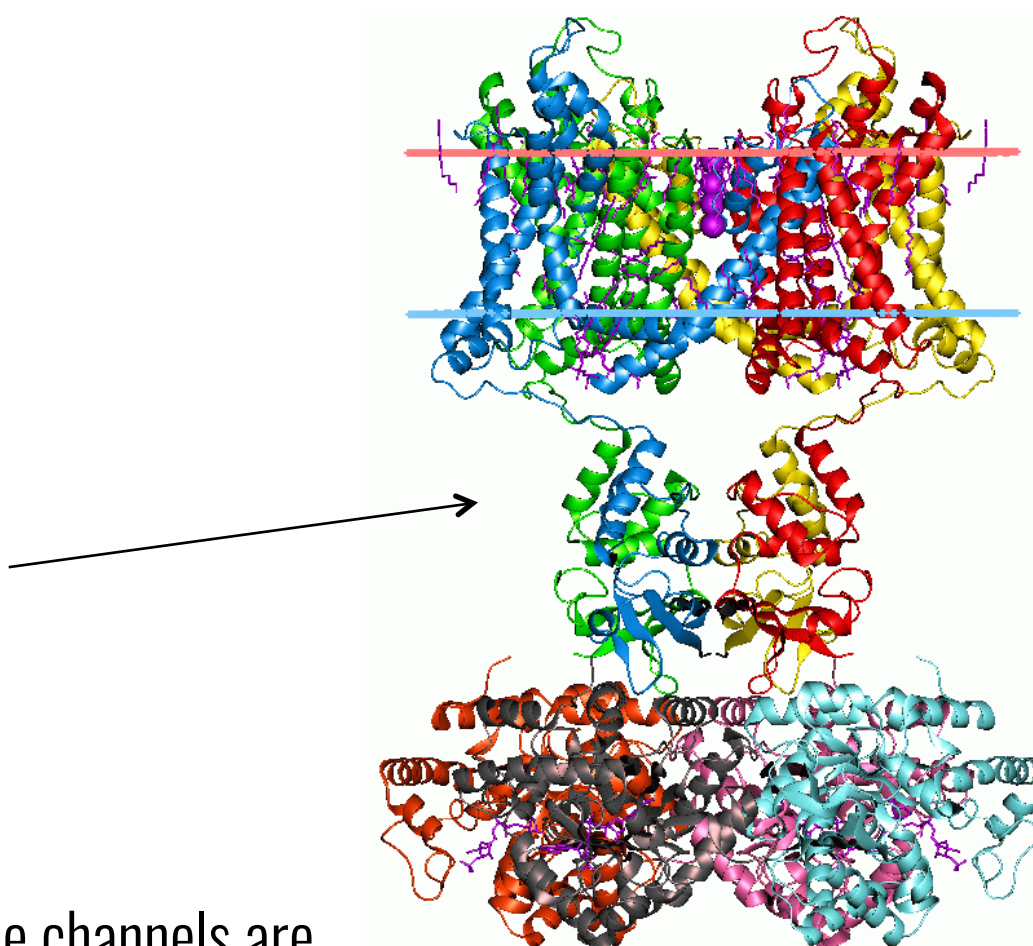
Ion channels are **passive** valves (driven by electrochemical gradient)
≠ membrane pumps

No use of metabolic energy

-Voltage dependants

Na⁺, Sodium
Ca²⁺, Calcium
K⁺, Potassium
Cl⁻, Chloride
H⁺, protons

The opening and closing of the channels are triggered by changing ion concentration

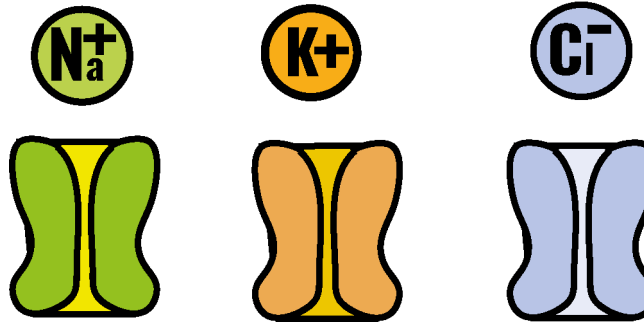


By Andrei Lomize - Own work, CC BY-SA 3.0, <https://commons.wikimedia.org/w/index.php?curid=34168784>

Ion Channels

Passive Ion Channels

Found on dendrites, cell body, and axon.



Chemically-gated Ion Channels

Found on dendrites & cell body

Voltage-gated Ion Channels

Found on axon hillock, unmyelinated axons
and at nodes of Ranvier on myelinated
axons.

The opening and closing of the channels are triggered by changing ion concentration

Ion Channels

Other type of Ion channels

-Ligand-gated ion channel : opens with the binding of neurotrasmitters : GABA, Glutamate, serotonin, ATP, nicotin...

-Inwardly rectifying potassium channels (Cl, K, Na, Ca, H)

-Calcium-activated potassium channel

-Light-gated ion channel : Channelrhodopsin

-Mechanosensitive channels (Piezo, TREK)

-Temperature-gated channels (TRPV)

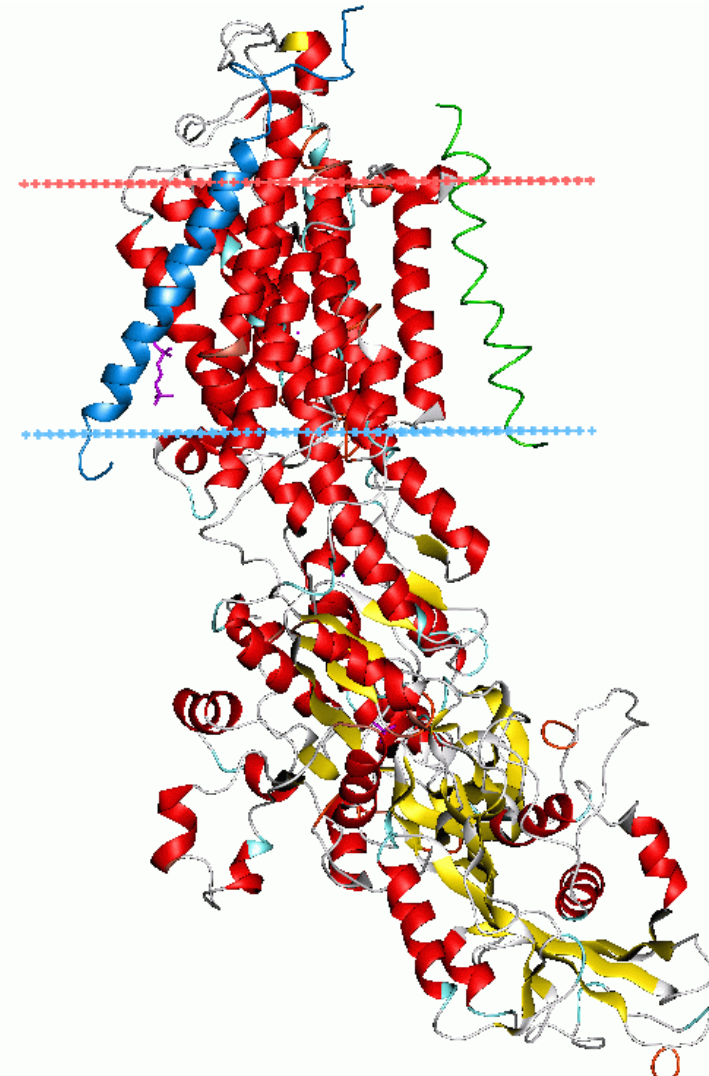
Ion pumps

Na⁺/K⁺ -ATPase

Ion pumps are enzymes that pump sodium out of cells while pumping potassium into cells, both against their concentration gradients.

Active process (consumes ATP)

Responsible for the generation of the resting membrane potential



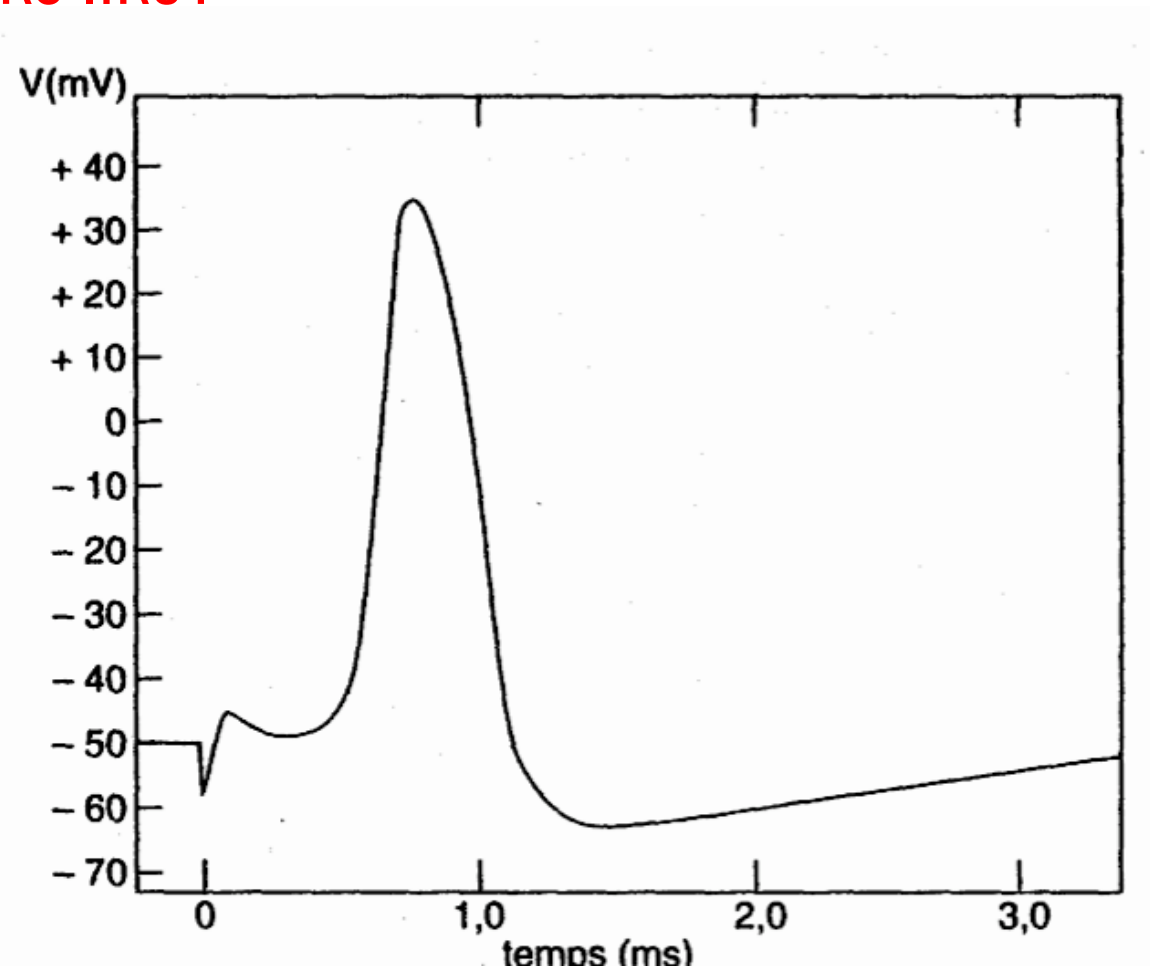
By Andrei Lomize - Own work, CC BY-SA 3.0, <https://commons.wikimedia.org/w/index.php?curid=34170807>

Electrochemical gradients

outside

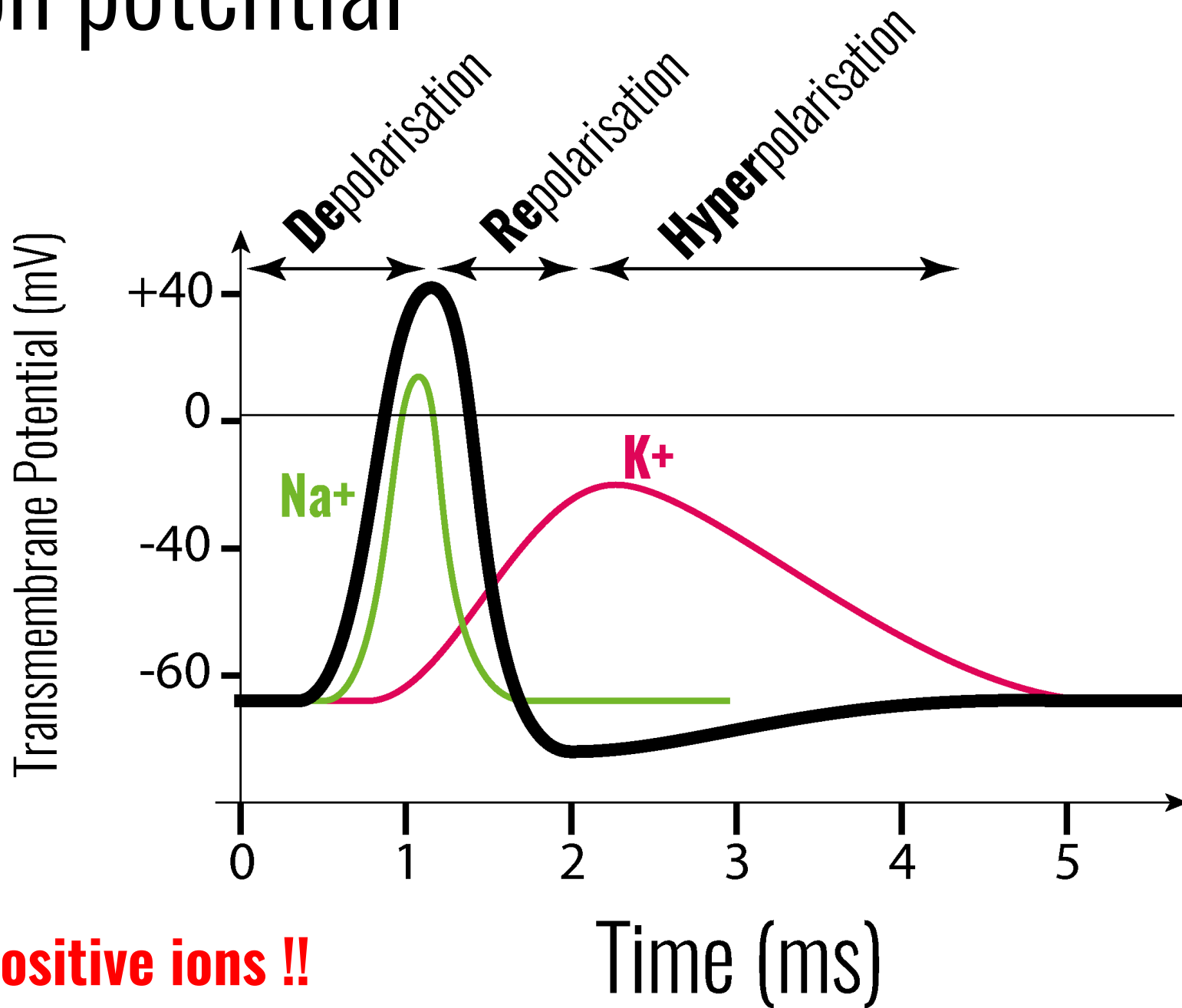
Action potential

What it looks like?

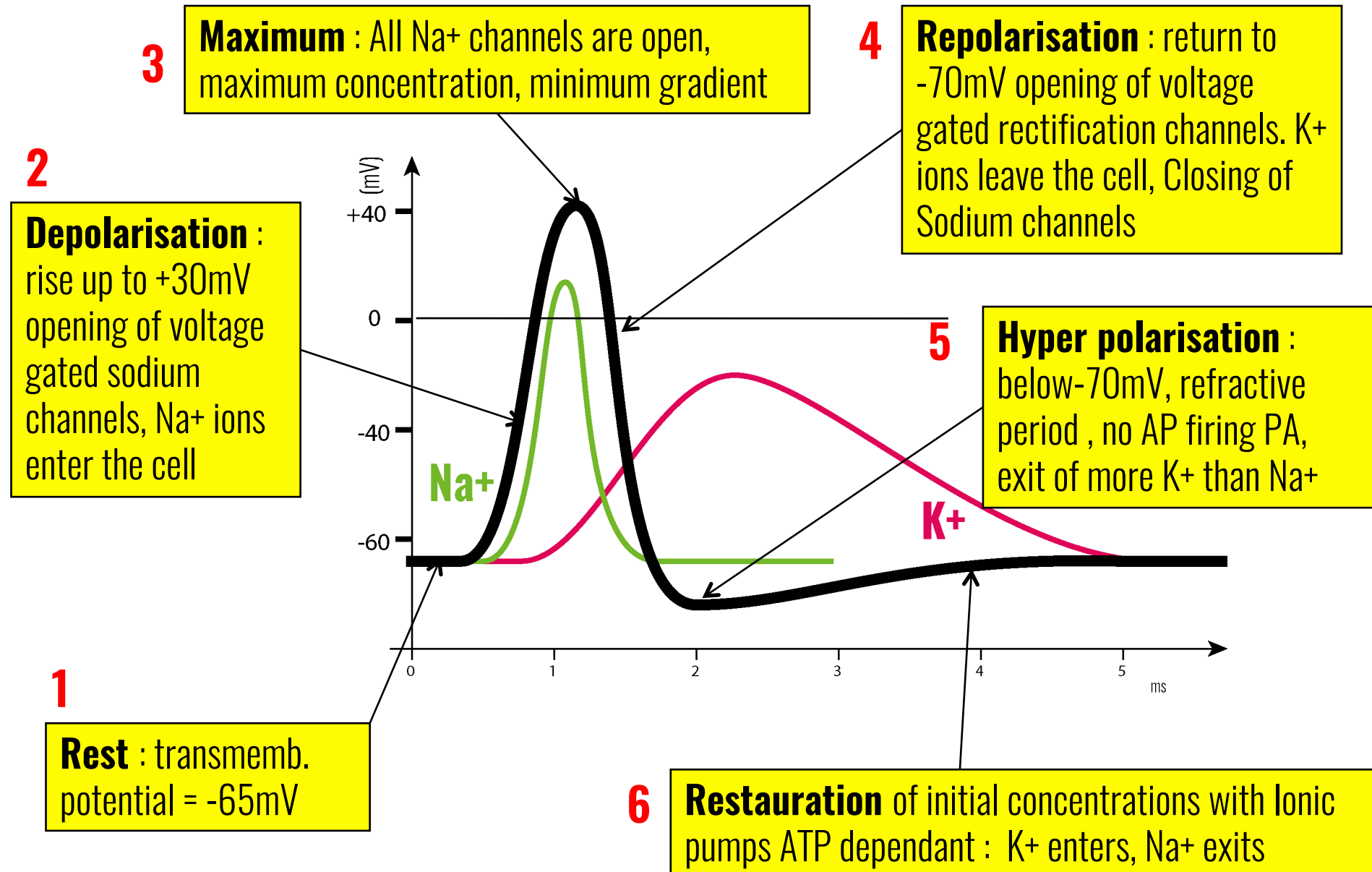


Intracellular recording of a giant squid axon under current Stimulation

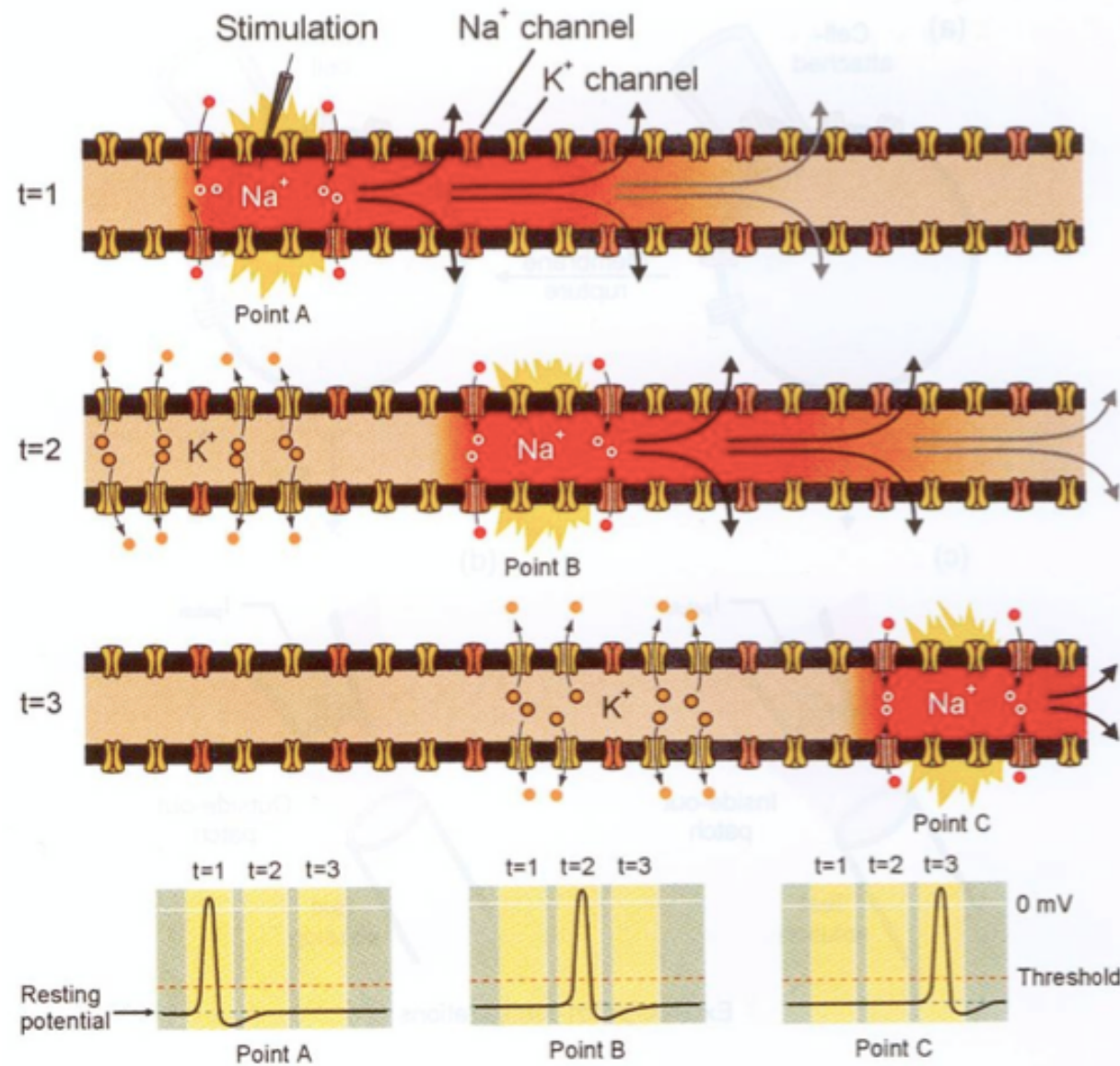
Action potential



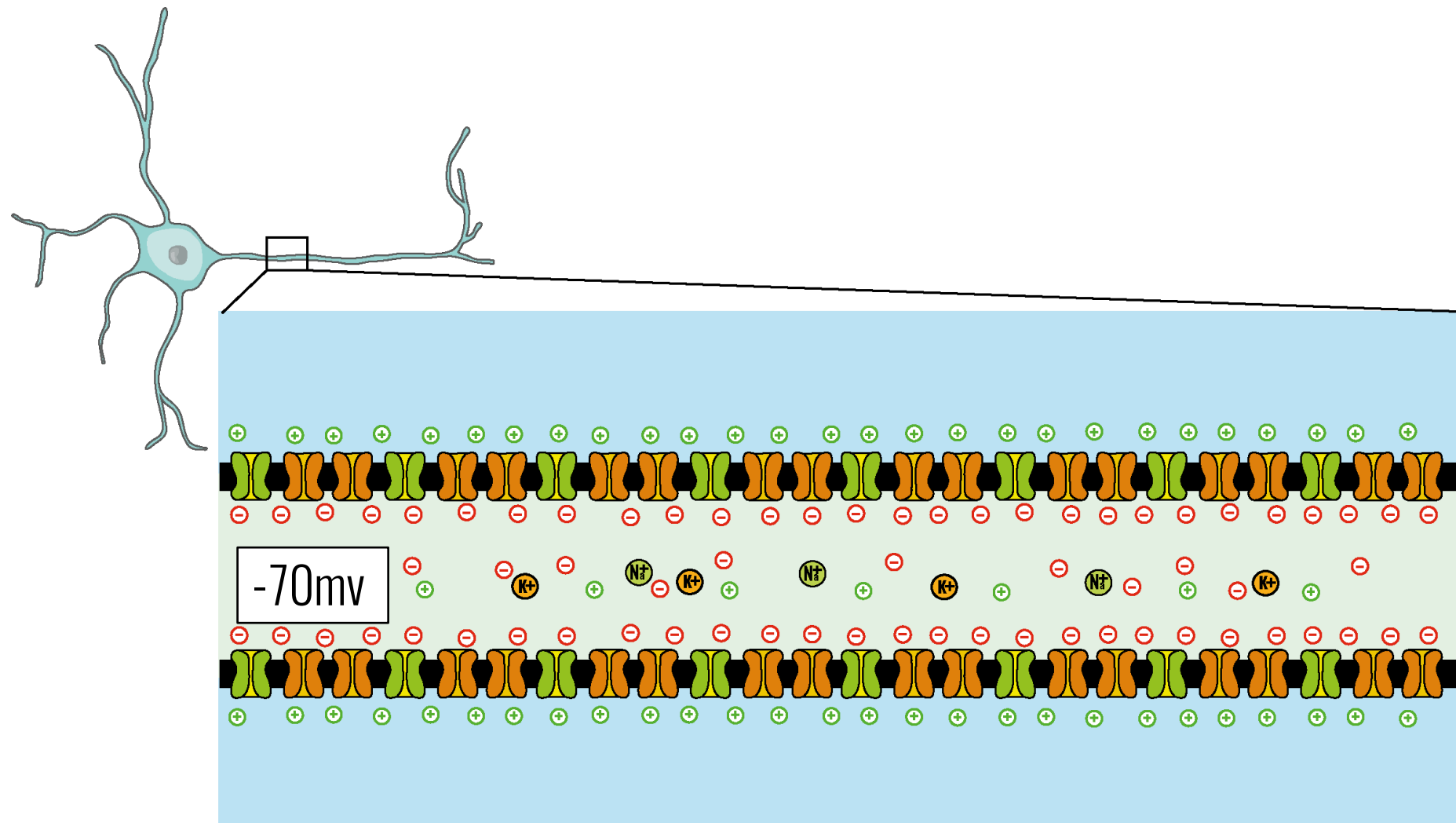
Action potential



Propagation

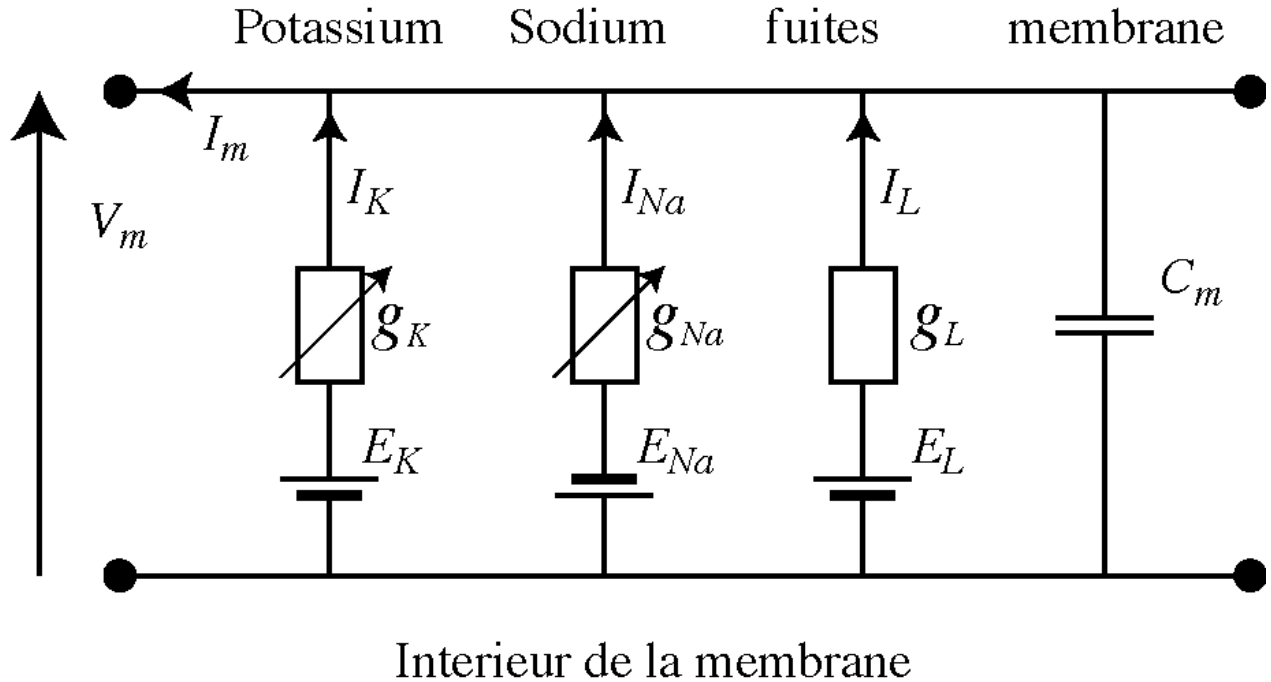
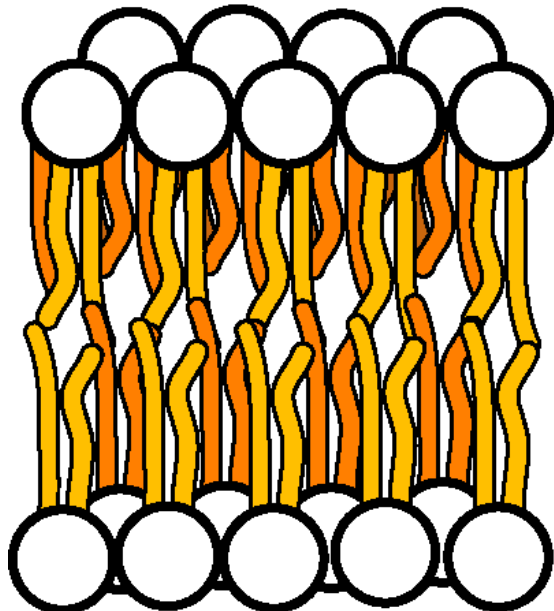


Action potential propagation



Hodgkin-Huxley Model

Exterieur de la membrane



$$I_m = I_K + I_{Na} + I_L + C_m \frac{dV_m}{dt}$$

Hodgkin-Huxley Model

Courants ioniques

$$V = RI \quad \text{Loi d'Ohm}$$

$$I = gV \quad \text{conductance}$$

$$I_K = g_K(V_m - E_K)$$

Modèle pile / résistance variable

Le potentiel électrochimique peut se calculer avec
l'équation de Nernst

$$E_K = -\frac{RT}{ZF} \log \frac{[K]_{\text{int}}}{[K]_{\text{ext}}}$$

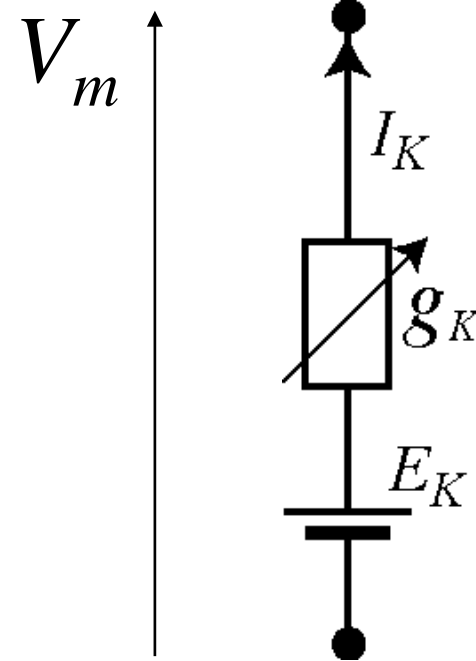
R : constante des gaz parfaits

T : température absolue

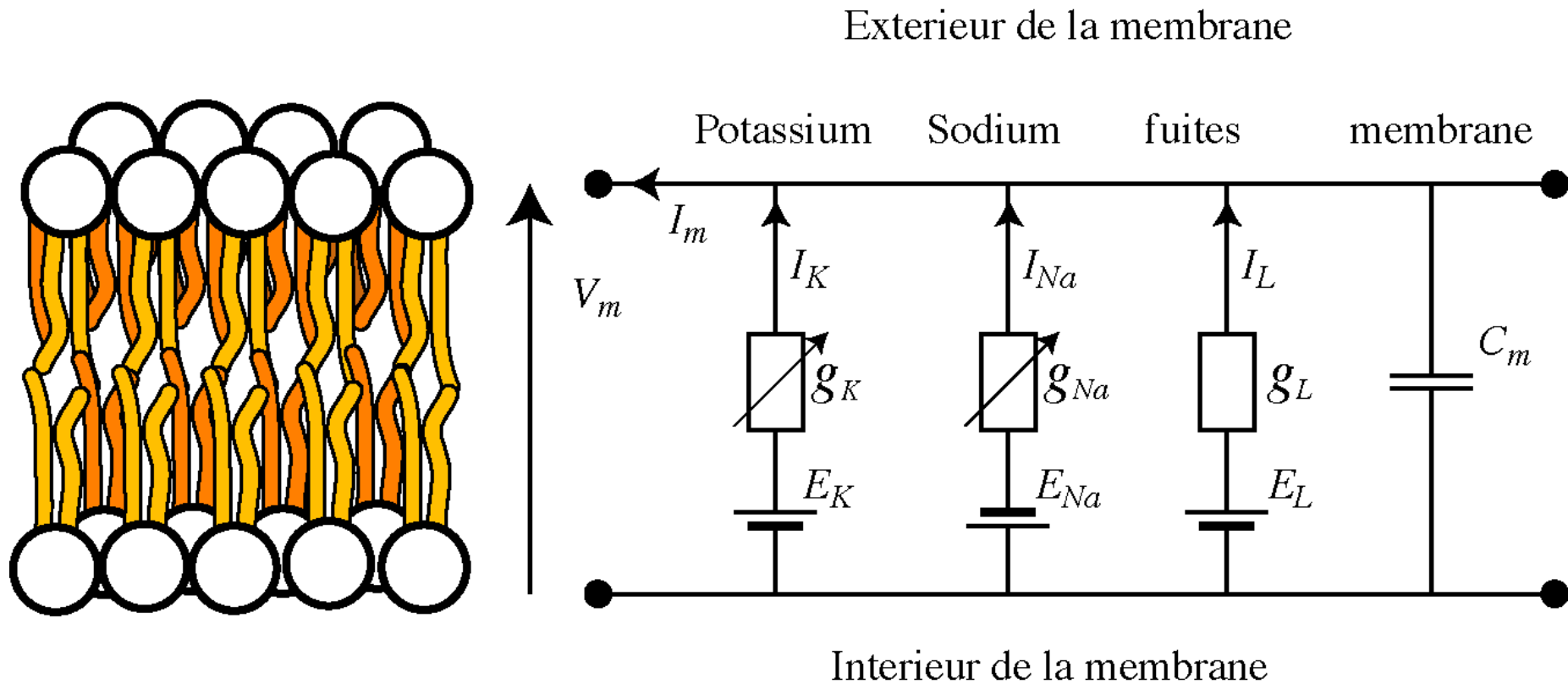
Zx: valence de l'ion

F : nombre de Faraday

$$E_{Na} = +64 \text{ mV} \quad E_K = -90 \text{ mV}$$



Modèle Hodgkin-Huxley



g_L modélise le courant de fuite est constant

g_{Na} et g_k ne sont pas constant... $= f(V_M, t)$

Modèle Hodgkin-Huxley

Modelisation de la conductance des canaux ioniques

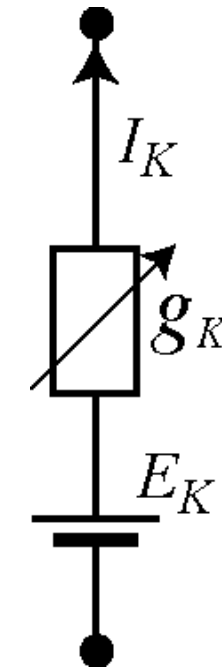
Le modèle considère les canaux comme un ensemble de portes ayant une certaine probabilité d'être ouvertes, cette probabilité dépendant de la tension V_m

$$g_K = \bar{g}_K n^4$$

$$g_{Na} = \bar{g}_{Na} m^3 h$$

m, n : porte d'activation
h : porte d'inactivation

V_m



\bar{g}_K \bar{g}_{na} Étant les conductance moyenne quand tous les canaux sont ouverts

n, m, h ???? Qu'est ce que c'est ?

Modèle Hodgkin-Huxley

Conductance des canaux ioniques

$$g_K = \bar{g}_K n^4$$

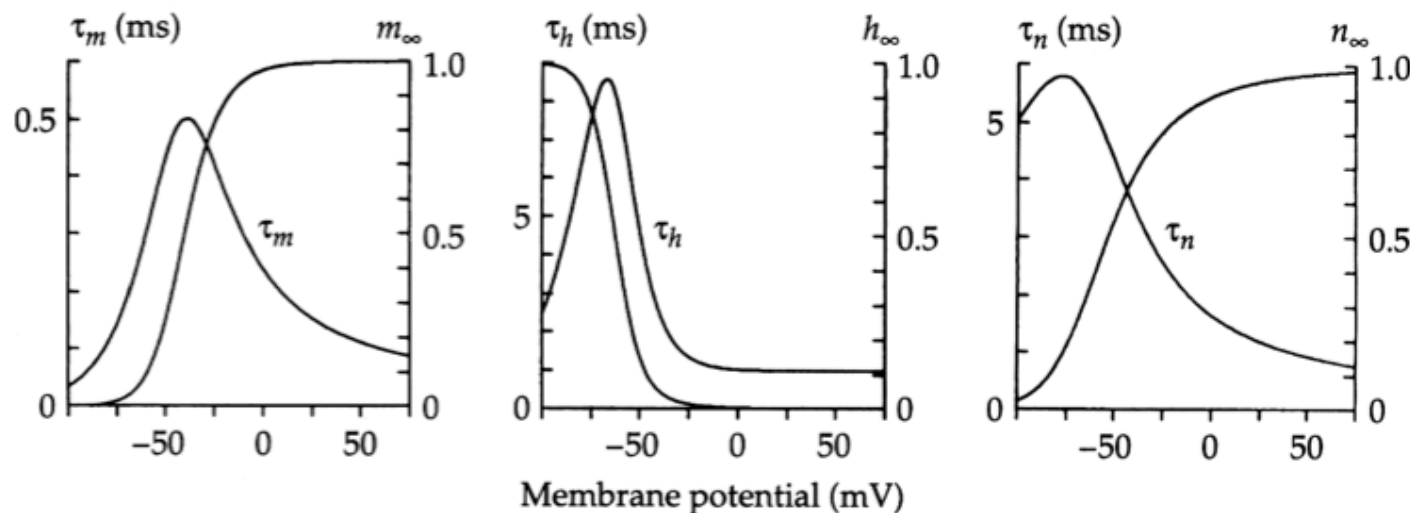
$$g_{Na} = \bar{g}_{Na} m^3 h$$

$$n, m, h = f(V_M, t)$$

$$\frac{dm}{dt} = \frac{m_\infty(V_m) - m}{\tau_m(V_m)}$$

$$\frac{dh}{dt} = \frac{h_\infty(V_m) - h}{\tau_h(V_m)}$$

$$\frac{dn}{dt} = \frac{n_\infty(V_m) - n}{\tau_n(V_m)}$$



Modèle Hodgkin-Huxley

Détermination des paramètres

$$\frac{dm}{dt} = A_m(V)[1-m] - B_m(V)m \quad A_m(V) = \frac{\alpha_m(V - V_{\alpha m})}{1 - e^{-(V - V_{\alpha m})/K_{\alpha m}}} \quad B_m(V) = \beta_m e^{-(V - V_{\beta m})/K_{\beta m}}$$

$m_\infty = A_m/(A_m + B_m)$ and $\tau_m = 1/(A_m + B_m)$

$$\frac{dh}{dt} = A_h(V)[1-h] - B_h(V)h \quad A_h(V) = \alpha_h e^{-(V - V_{\alpha h})/K_{\alpha h}} \quad B_h(V) = \frac{\beta_h}{1 - e^{-(V - V_{\beta h})/K_{\beta h}}}$$

$$\frac{dn}{dt} = A_n(V)[1-n] - B_n(V)n \quad A_n(V) = \frac{\alpha_n(V - V_{\alpha n})}{1 - e^{-(V - V_{\alpha n})/K_{\alpha n}}} \quad B_n(V) = \beta_n e^{-(V - V_{\beta n})/K_{\beta n}}$$

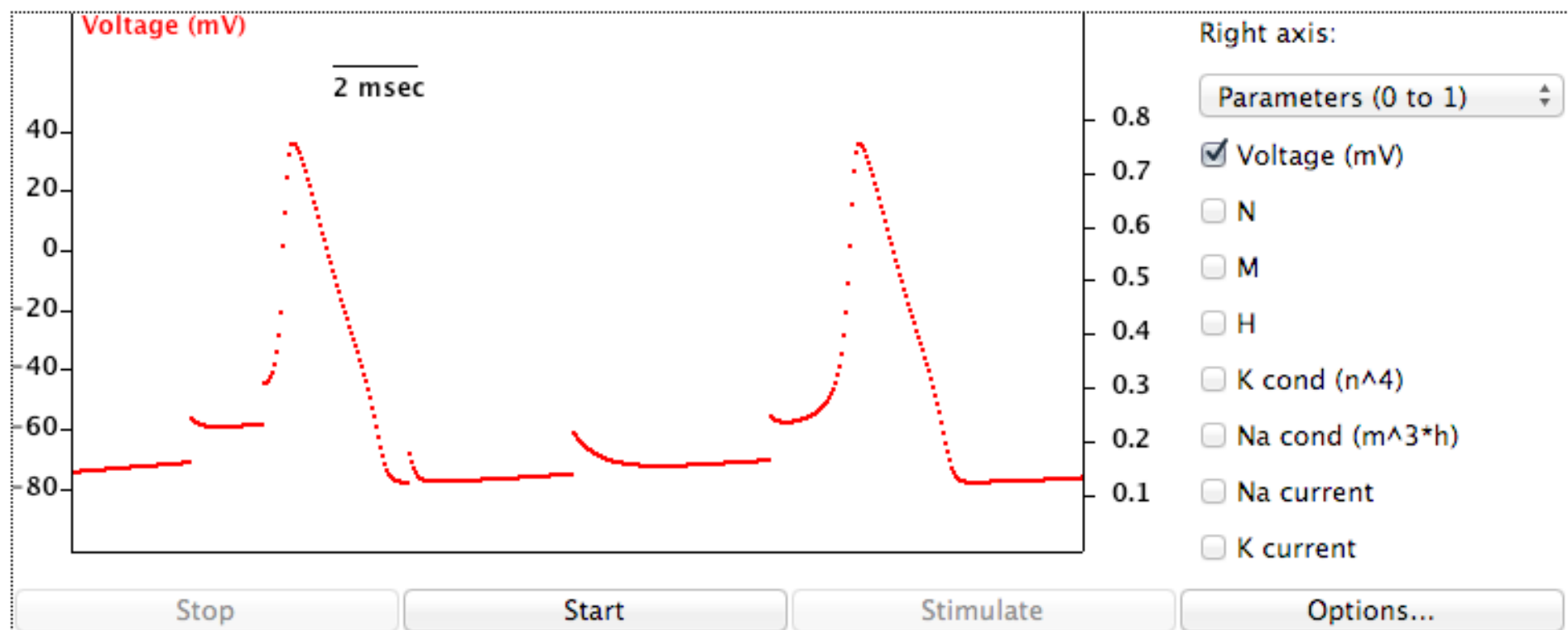
G_L	0.3	0.75	mS/cm^2	α_h	0.07	0.0081	ms^{-1}
G_K	36	21.6	mS/cm^2	β_h	1	4.38	ms^{-1}
G_{Na}	120	150	mS/cm^2	$V_{\alpha h}$	-60	-45	mV
C	1	4	$\mu\text{Fd/cm}^2$	$V_{\beta h}$	-30	-45	mV
E_L	-87	*	mV	$K_{\alpha h}$	20	14.7	mV
E_K	-95.3	-72	mV	$K_{\beta h}$	10	9	mV
E_{Na}	36.7	55	mV				

α_m	0.1	0.288	ms^{-1}	α_n	0.01	0.0131	ms^{-1}
β_m	4	1.38	ms^{-1}	β_n	0.125	0.067	ms^{-1}
$V_{\alpha m}$	-36	-46	mV	$V_{\alpha n}$	-50	-40	mV
$V_{\beta m}$	-60	-46	mV	$V_{\beta n}$	-60	-40	mV
$K_{\alpha m}$	10	10	mV	$K_{\alpha n}$	10	7	mV
$K_{\beta m}$	18	18	mV	$K_{\beta n}$	80	40	mV

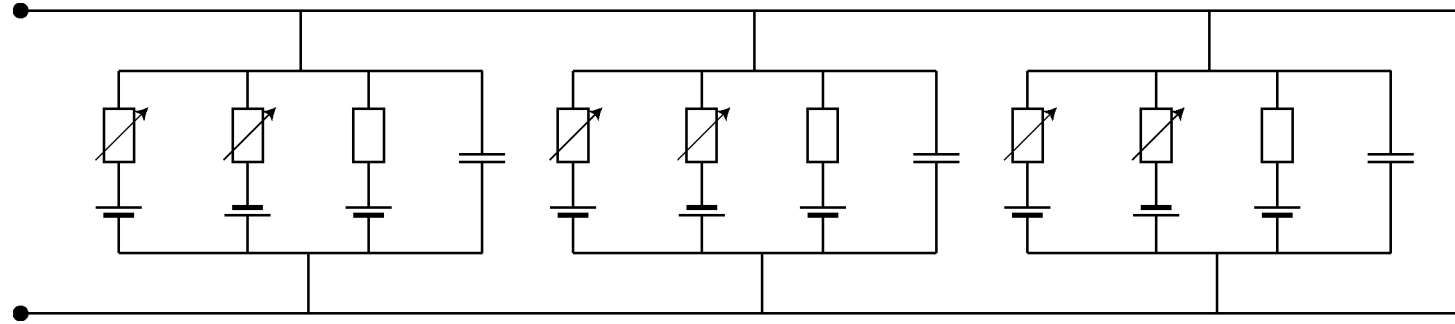
En règle générale, ça se programme...

Modèle Hodgkin-Huxley

Simulation



Hodgkin-Huxley 2: propagation axonale d'un potentiel d'action

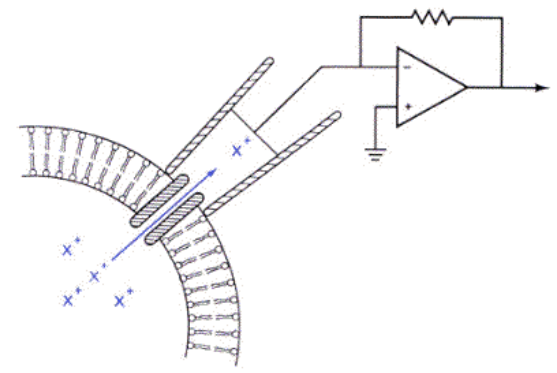
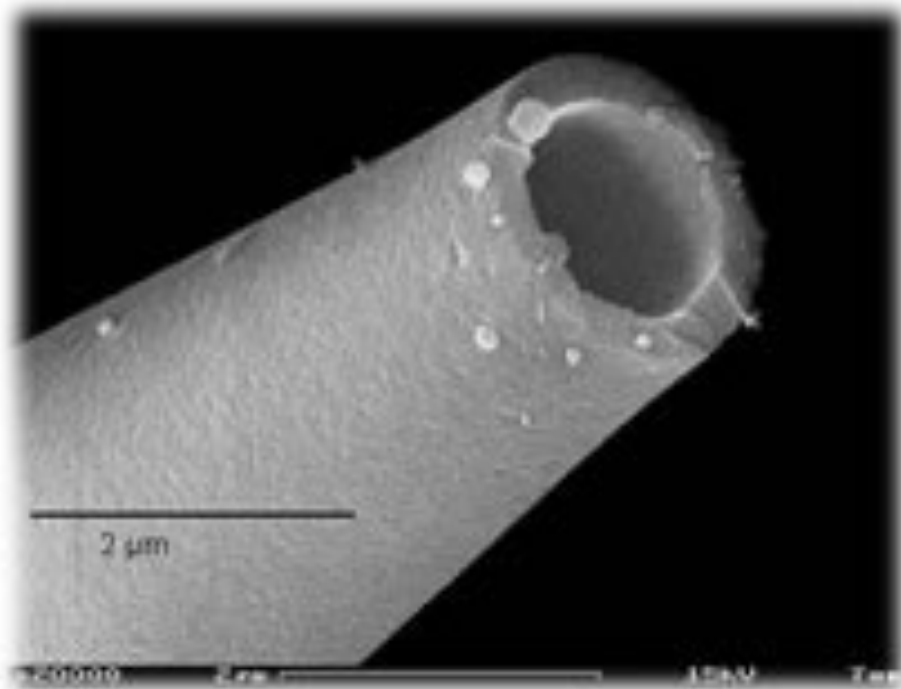
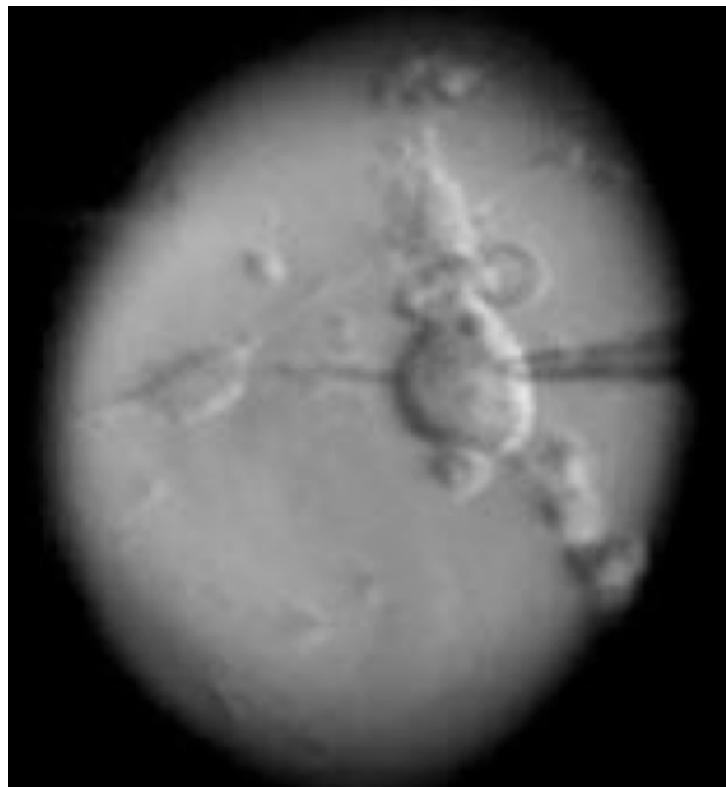


$$\frac{1}{R} \frac{\partial^2 V}{\partial x^2} = C_m \frac{\partial V}{\partial t} + \left[g_{Na}^{\max} m^3 h (V - V_{Na}) + g_K^{\max} n^4 (V - V_K) + g_l (V - V_l) \right] 2\pi r L$$

Patch Clamp

Technique d'enregistrement des courants ioniques transitant à travers les membranes cellulaires

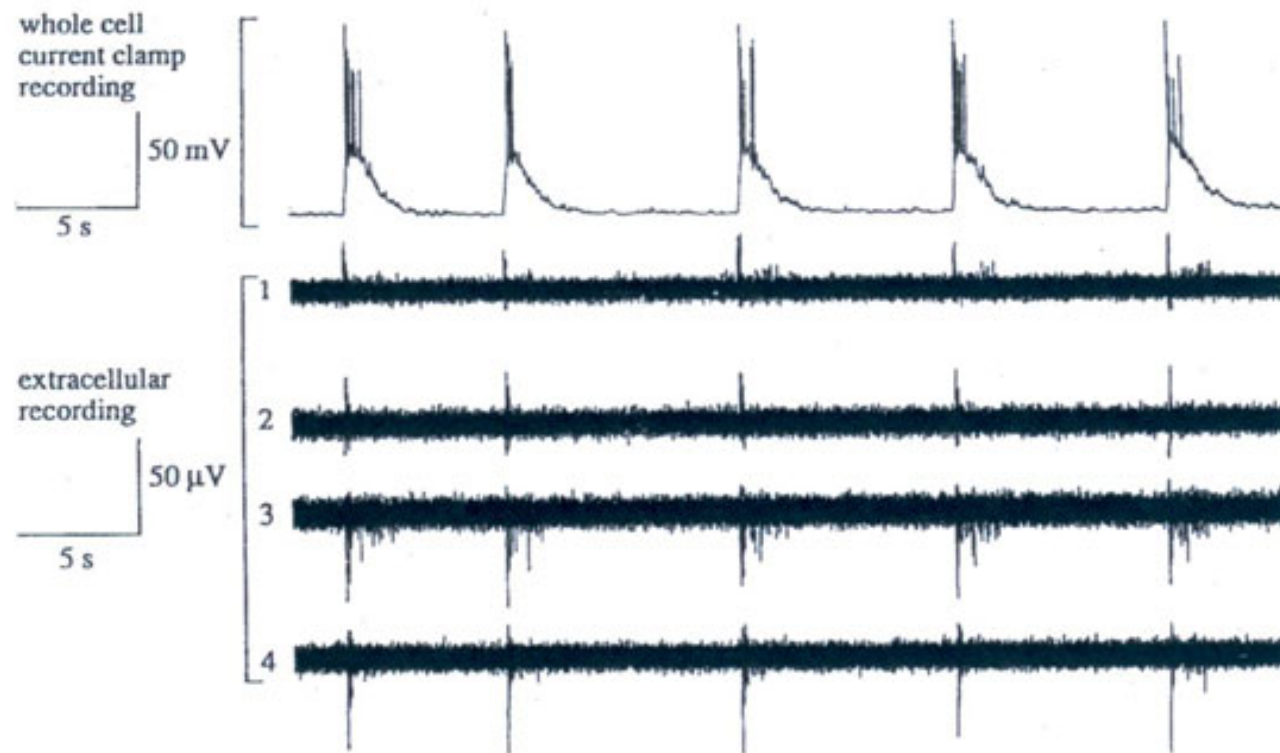
Perforation de la membrane par une micro pipette



Patch Clamp

Deux modes :

- Potentiel imp
- Courant imp



Interface Iono-Electronique

Potentiel Intracellulaire : dans la cellule, accessible par Patch clamp

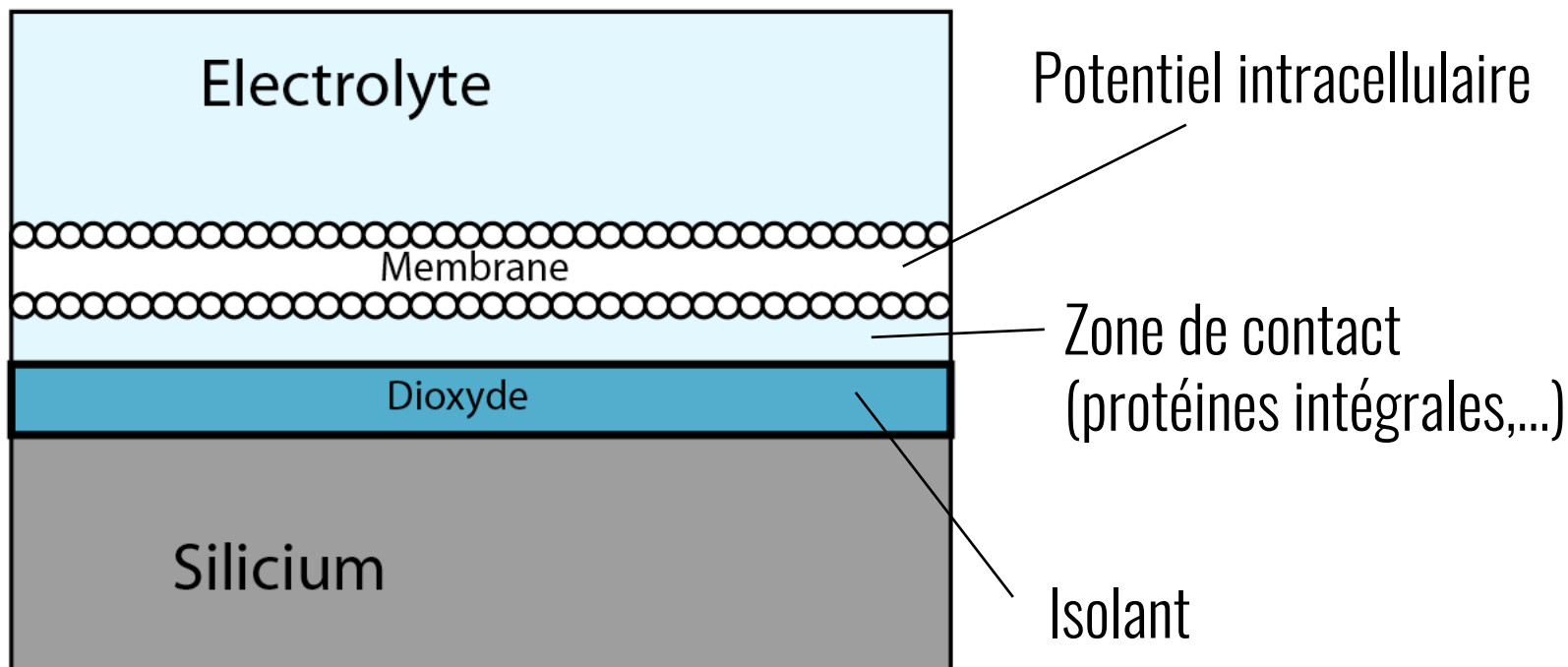
Potentiel extracellulaire : à l'extérieur de la cellule les courants ioniques modifient l'équilibre électrique.

Le *Local Field Potential* (LFP) est mesuré loin des cellules et caractérise l'activité d'une région

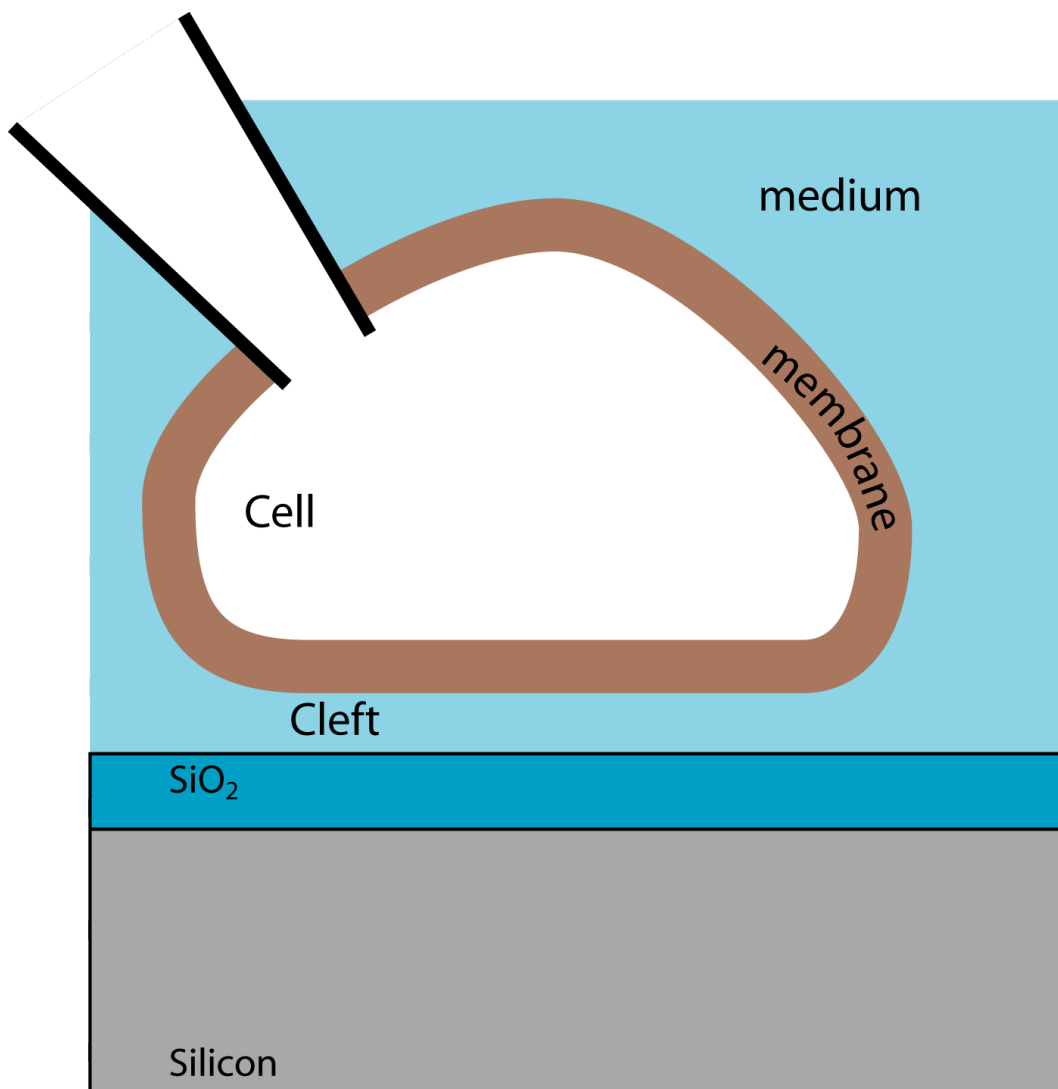
Si on veut accéder a l'activité d'une cellule unique il faut se placer à proximité.

Interface Iono-Electronique

Approchons une cellule électriquement active à la surface d'une structure silicium/oxyde



Interface Iono-Electronique

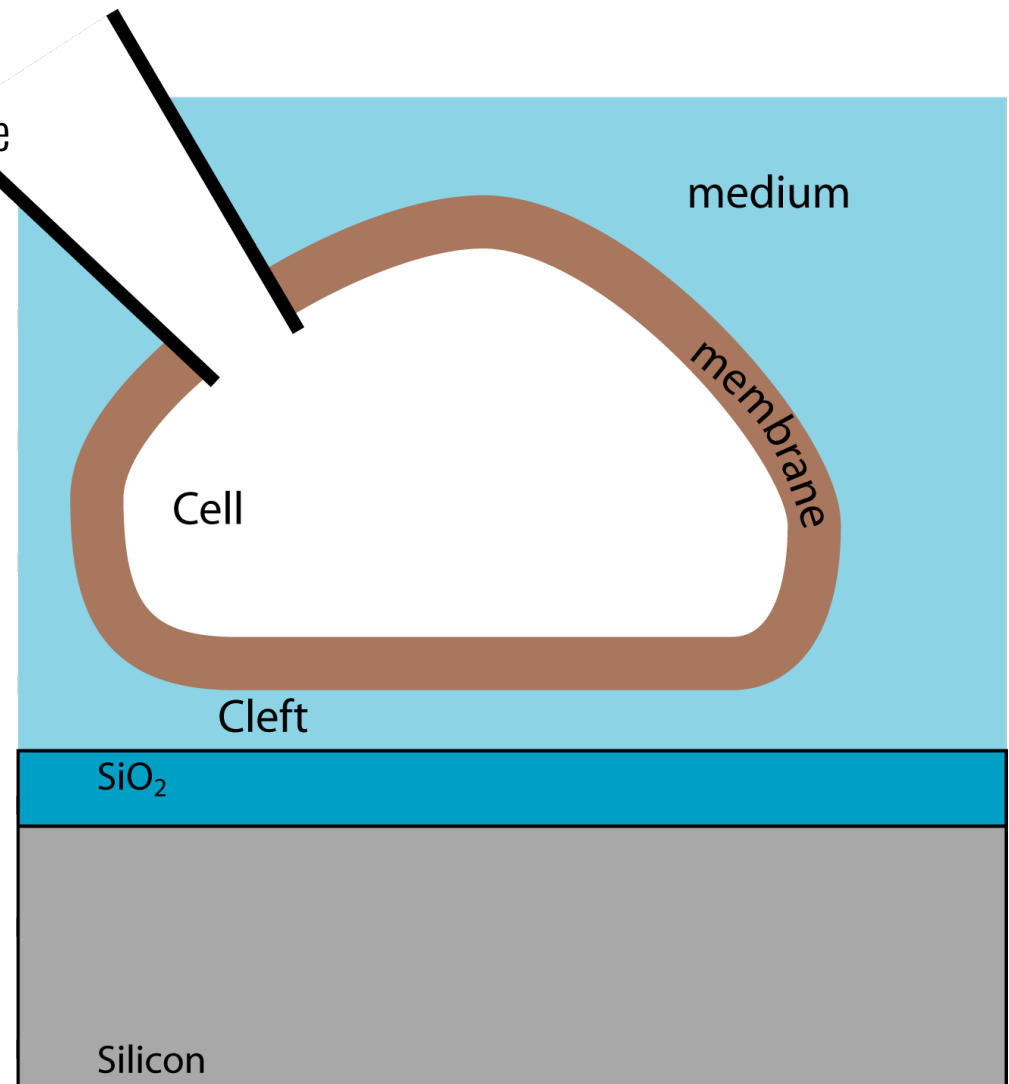


Interface Iono-Electronique

- Un potentiel d'action est déclenché
- Le potentiel électrique trans-membranaire change
- Ouverture et fermeture des canaux ioniques (courants)
- Le champ électrique à l'extérieur de la cellule varie
- En fonction de la position de l'électrode : mesure des spikes d'un ou de plusieurs neurones.

Le type de signal enregistré à l'intérieur de la cellule est très différent de celui qui est enregistré depuis l'extérieur

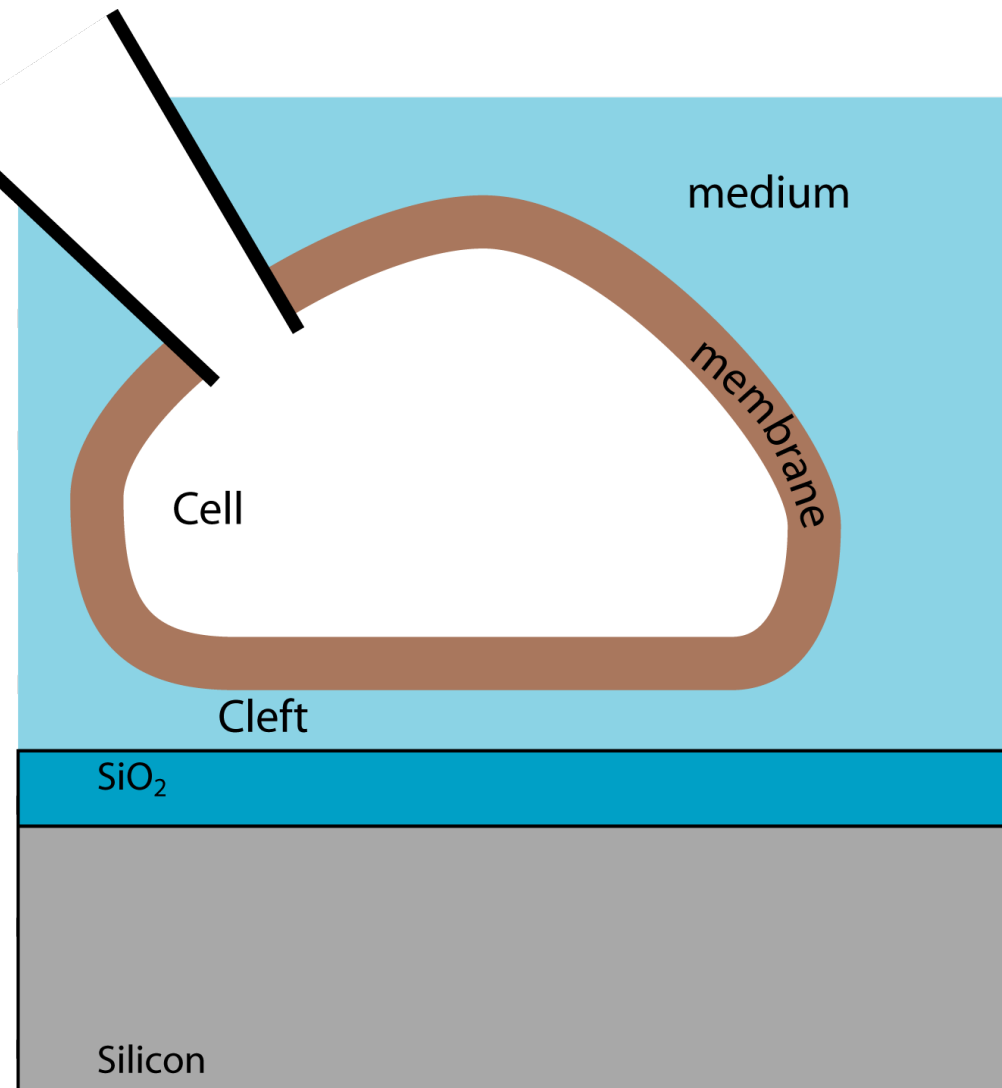
Seuls les potentiels d'action sont enregistrés par les électrodes extracellulaires



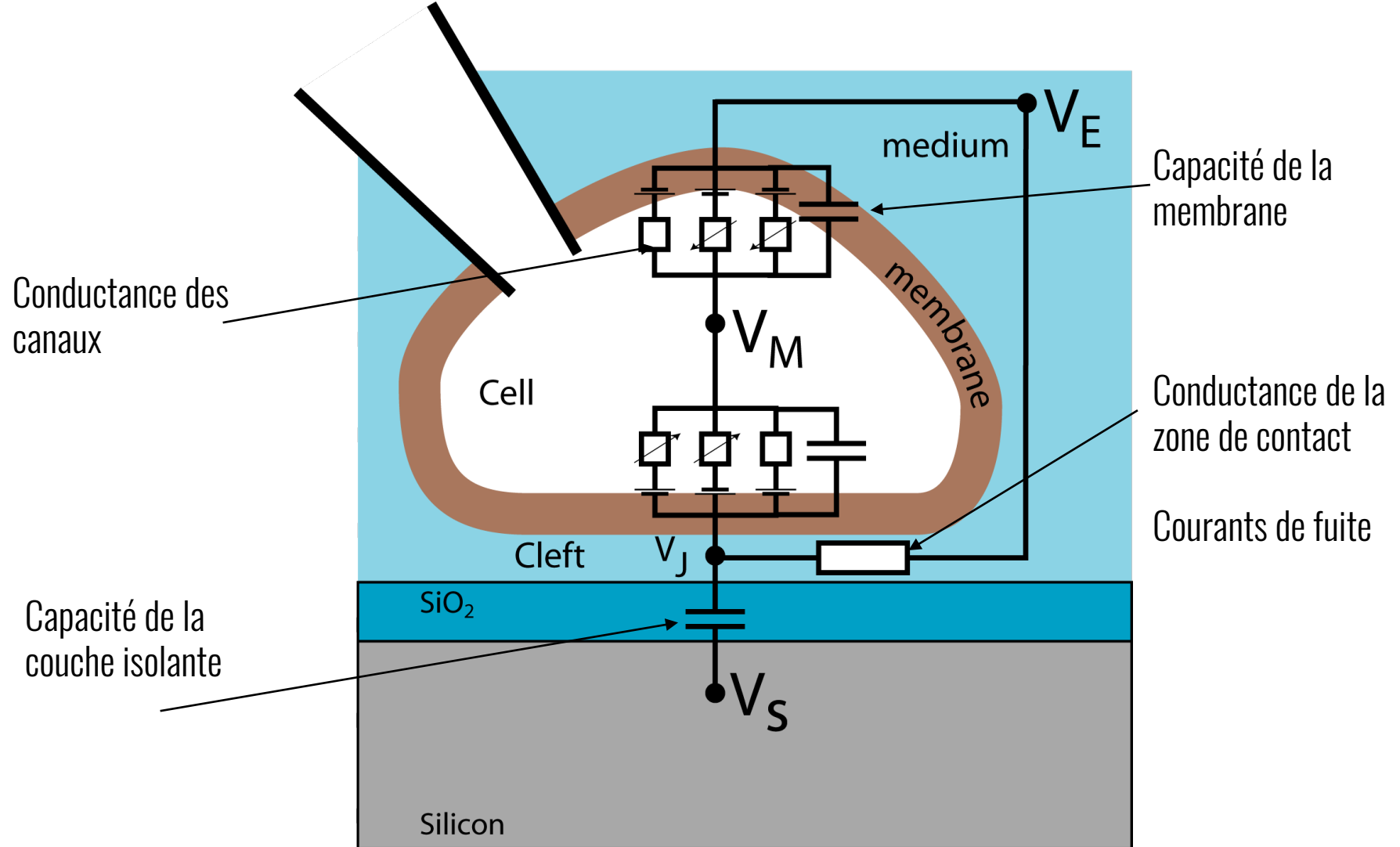
Interface Iono-Electronique

Quel est la relation entre la tension (ou le courant) mesurée dans le silicium par rapport au potentiel intracellulaire?

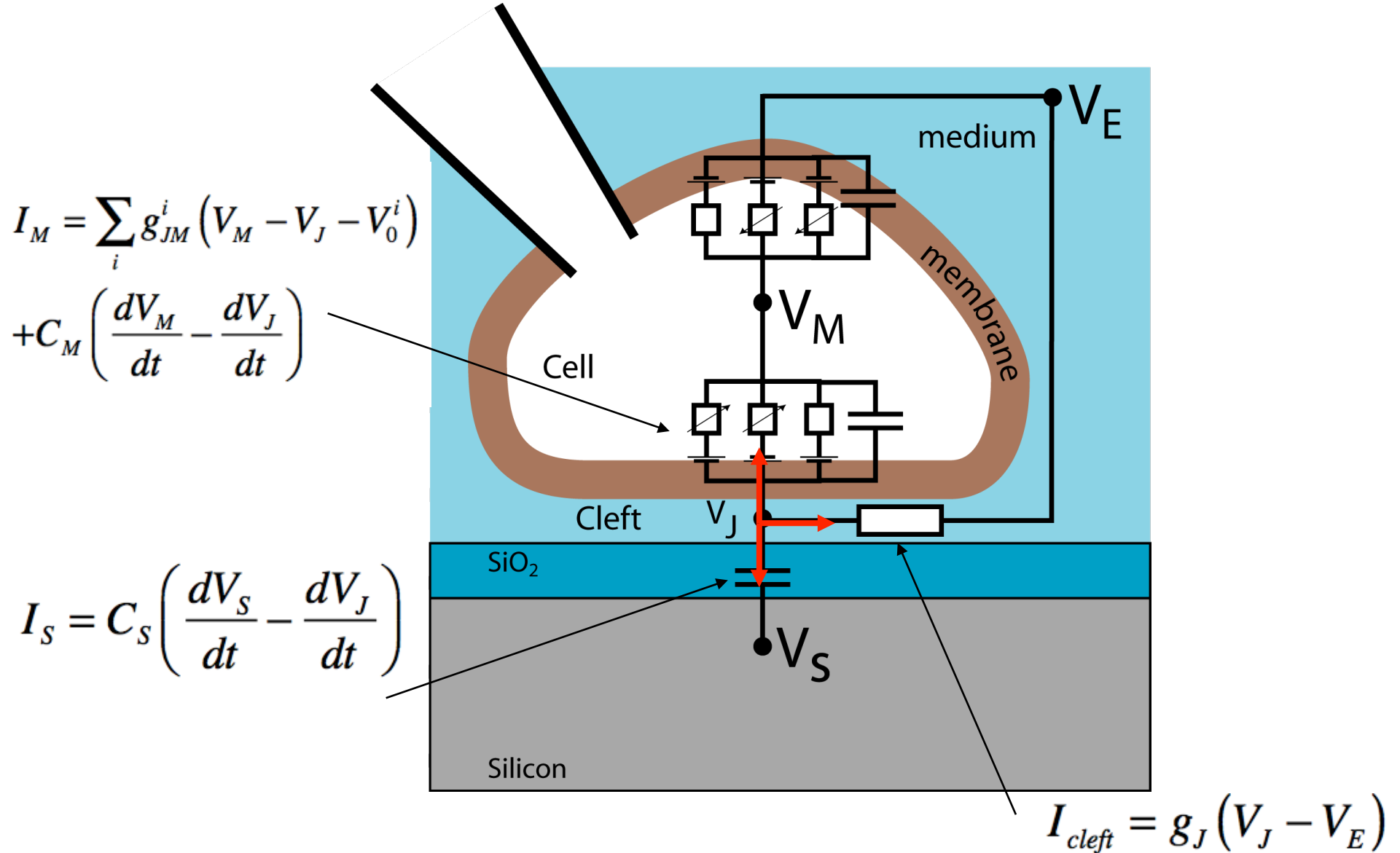
Modélisation....



Modélisation



Modélisation



Modélisation

Loi de Kirchoff : $I_{cleft} = I_M + I_S$

$$g_J(V_J - V_E) = C_s \left(\frac{dV_s}{dt} - \frac{dV_J}{dt} \right) + C_M \left(\frac{dV_M}{dt} - \frac{dV_J}{dt} \right) + \sum_i g_{JM}^i (V_M - V_J - V_0^i)$$

Partie capacitive

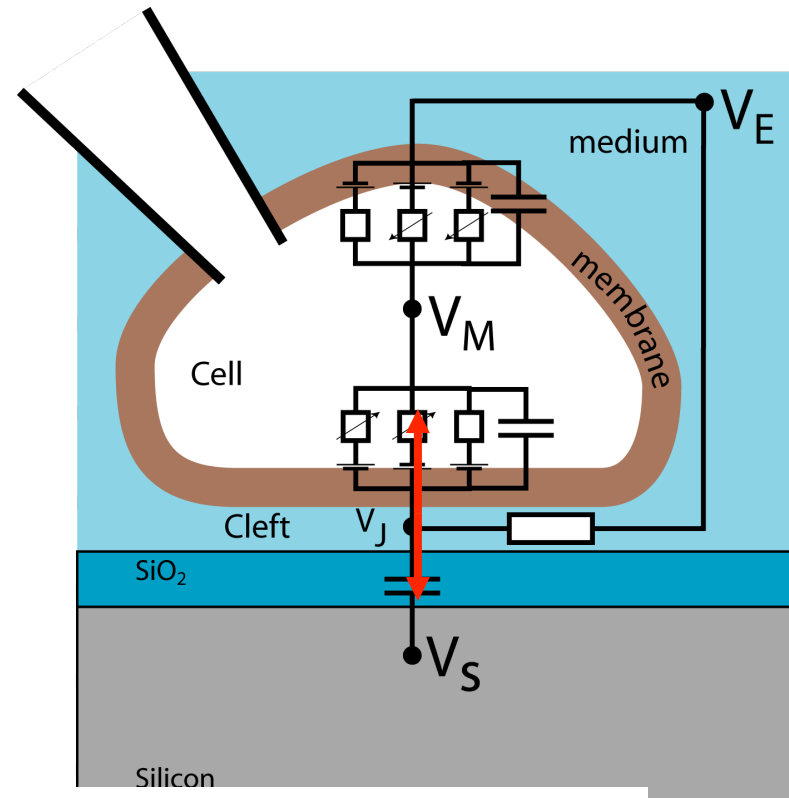
Partie conductive

Modélisation

Dynamique intra cellulaire:
Neutralité électrique dans la cellule

Surface de la membrane en contact : A_{JM}

Surface de la membrane libre : A_{FM}



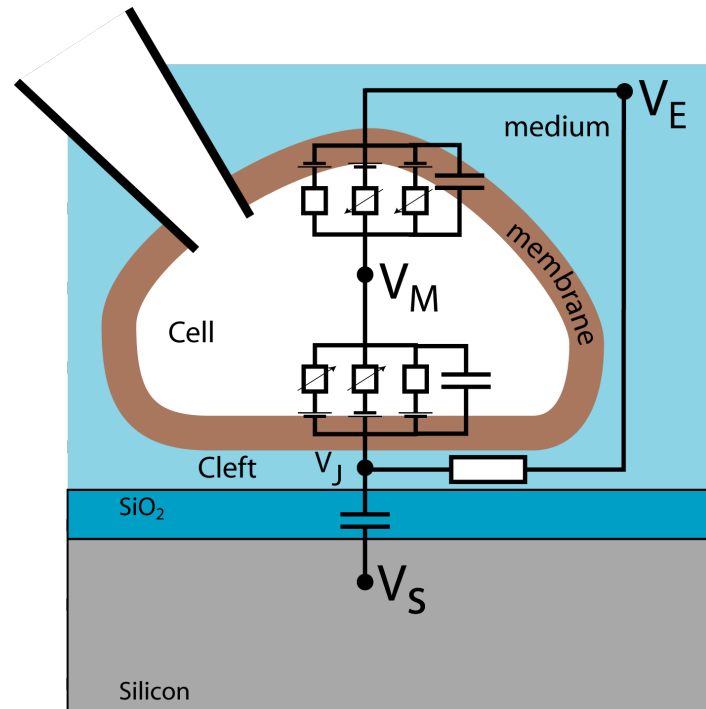
$$\beta_{FM} = \frac{A_{FM}}{A_{JM}}$$

$$A_{JM} \left[\sum_i g_{JM}^i (V_M - V_J - V_0^i) + C_M \left(\frac{dV_M}{dt} - \frac{dV_J}{dt} \right) \right]$$
$$= -A_{FM} \left[\sum_i g_{FM}^i (V_M - V_J - V_0^i) + C_M \left(\frac{dV_M}{dt} - \frac{dV_E}{dt} \right) \right]$$

Modélisation

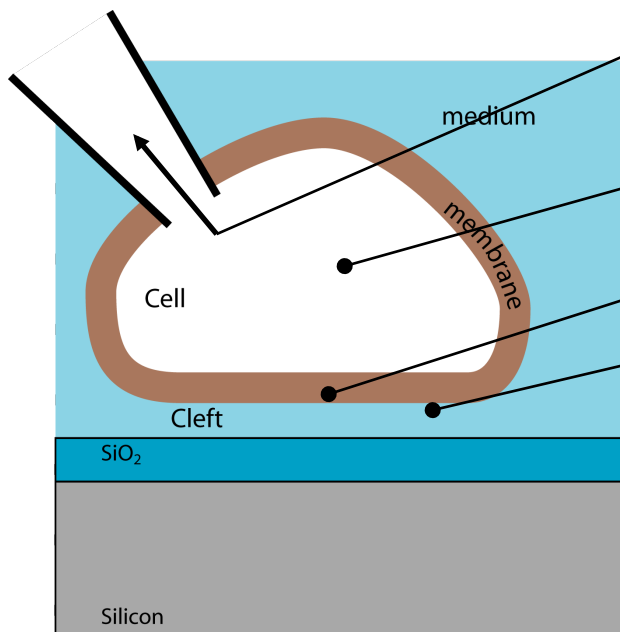
On a donc un jeu d'équations décrivant le potentiel extracellulaire V_J en fonction du Potentiel intra et de plusieurs facteurs :

- Surface de contact (ratio)
- Conductance de membrane
- Densité des canaux ioniques
- Epaisseur et conductivité de la zone de contact



Modélisation

Courant impose par patch
Hypothèse petits signaux



Courant impose par patch

Potentiel intracellulaire V_M

Potentiel de Jonction V_J

Courant de fuite g_j

$$g_J V_J = \sum_i g_{JM}^i (V_M - V_0^i) + C_M \frac{dV_M}{dt}$$

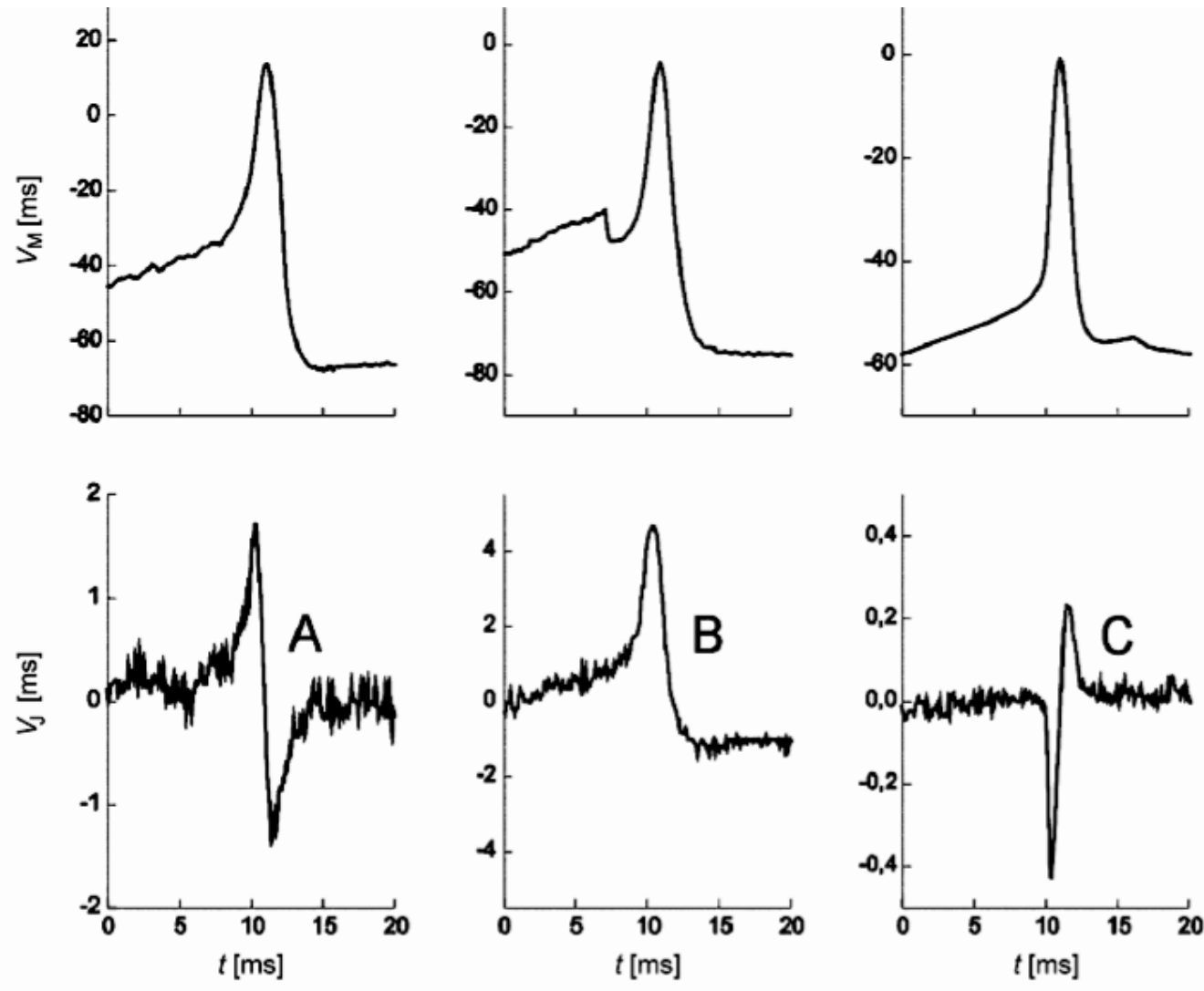
Le rapport entre les conductances g_{JM} de membrane et la conduction de contact g_J va donner deux types de réponses.

A Jonction capacitive

B Jonction Ohmique

Mesure

Potentiel
Intracellulaire V_M



~ Dérivée de V_M

Jonction capacitive

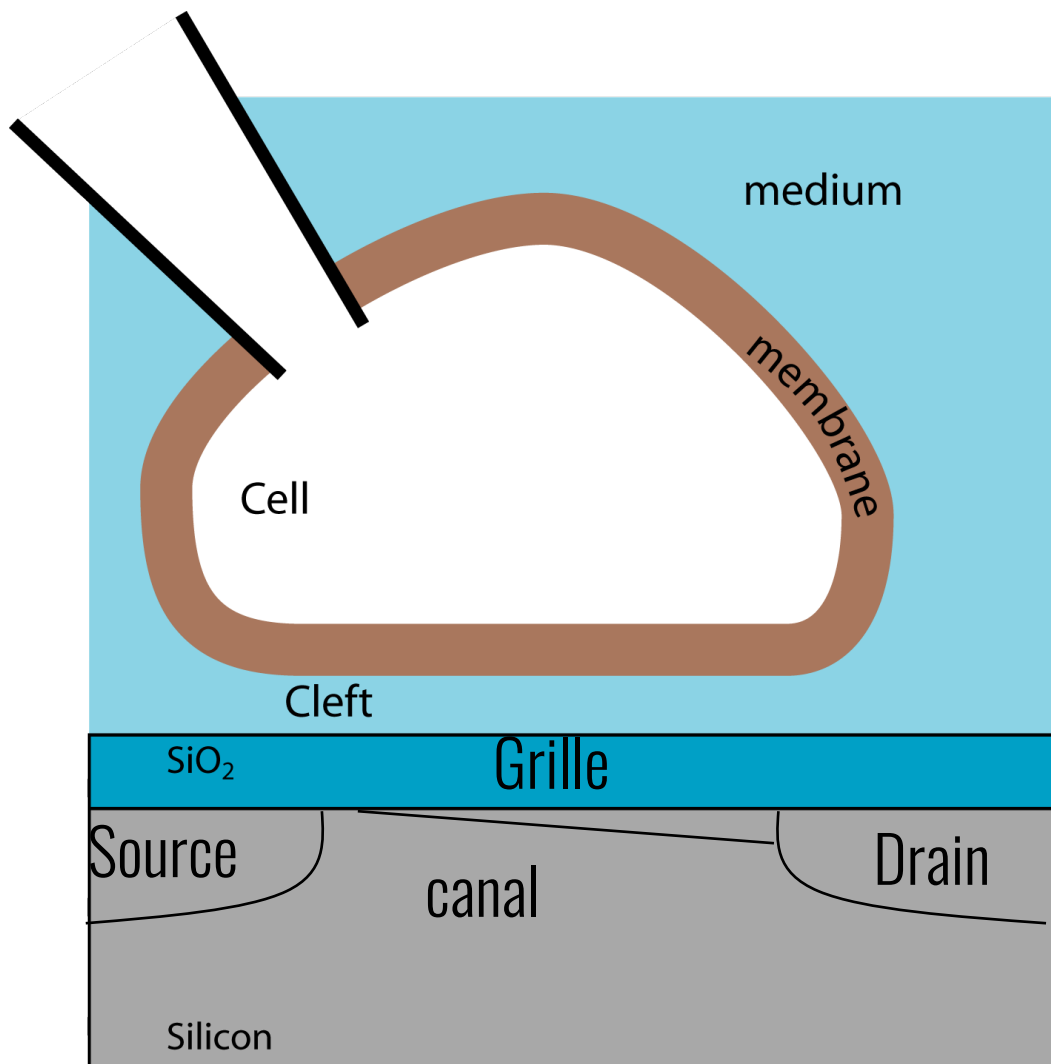
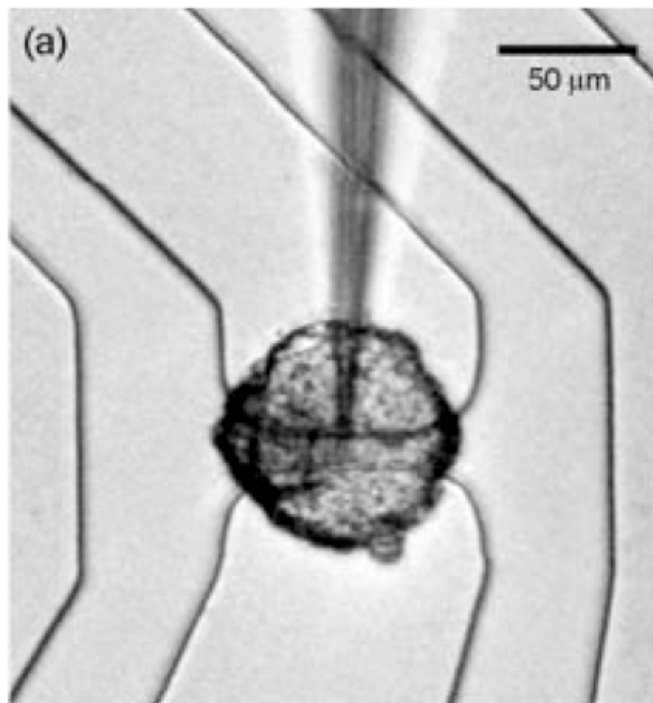
~ V_M

Jonction ohmique

Transistor

Faibles tensions mesures
Avantage de la structure MOS
Transistor à effet de champ

EOSFET
(electrolyte / oxyde / semicon)

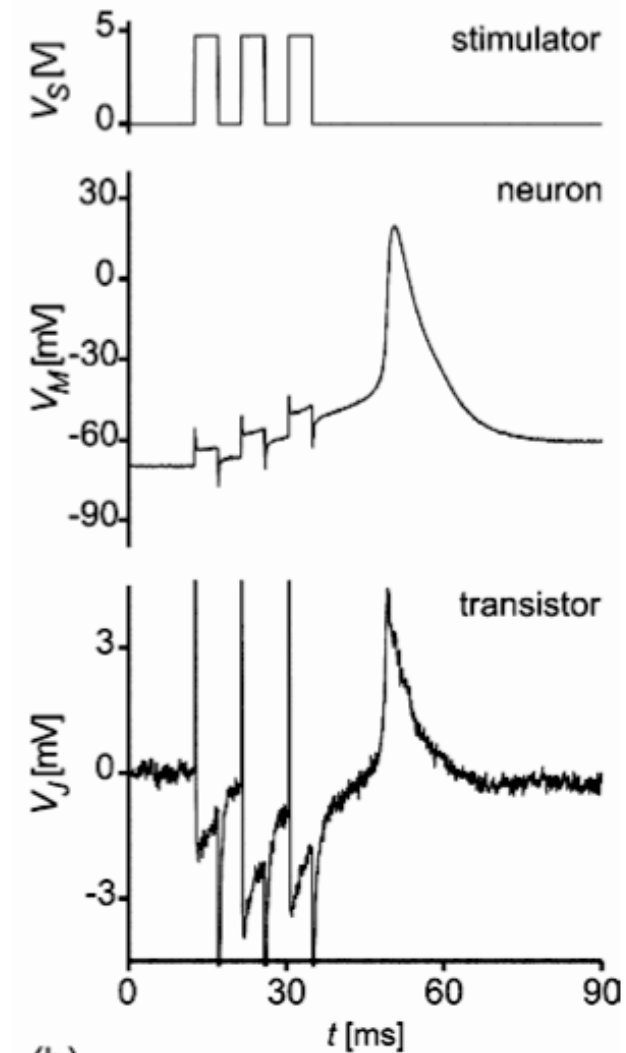
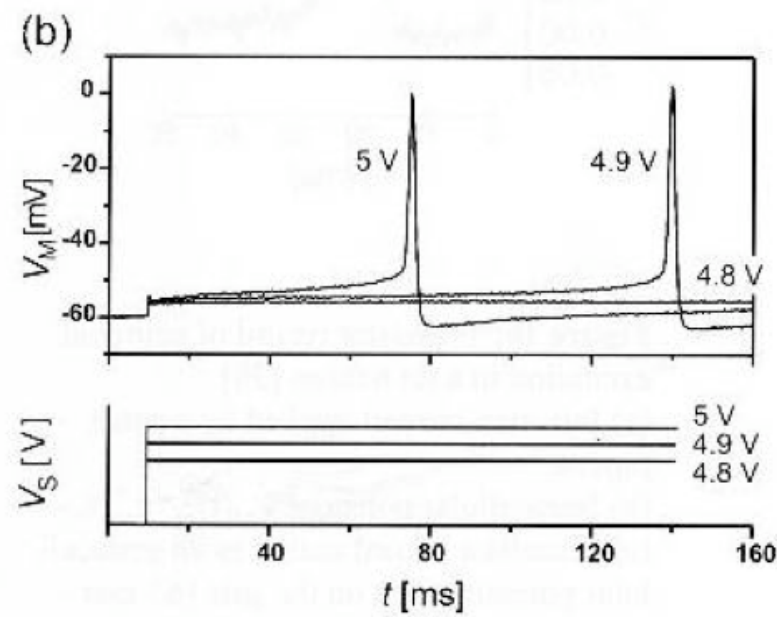


Stimulation

En appliquant un échelon de tension sur l'électrode

- Courant au long de la zone de contact
- Potentiel extracellulaire
- Ouverture des canaux ioniques Voltage dépendant

Dépends du type de configuration A, B C

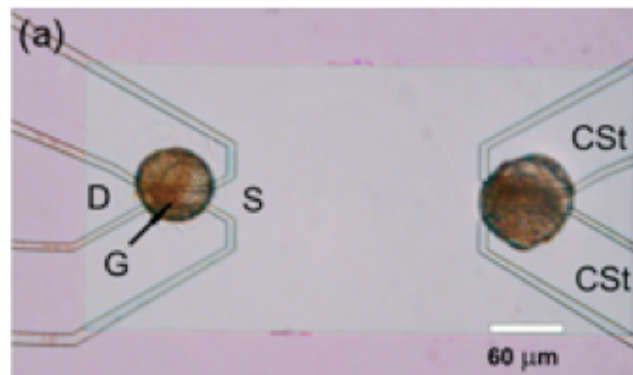
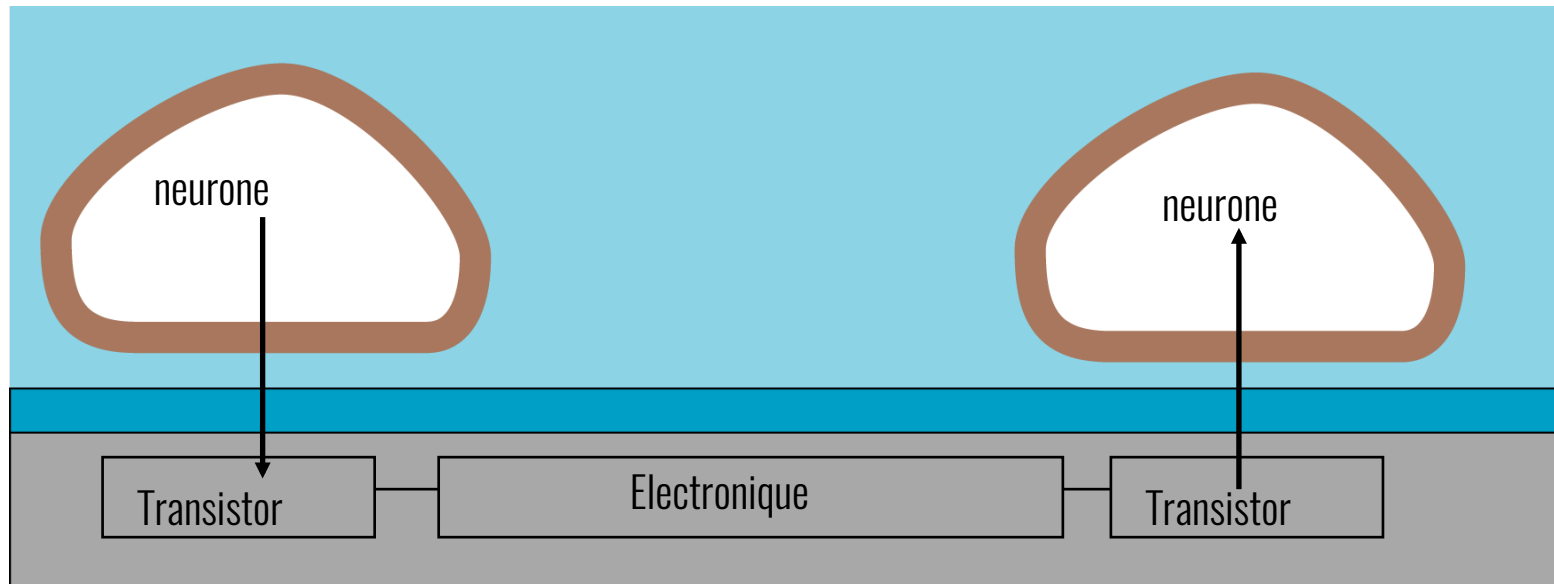


Détection / Stimulation

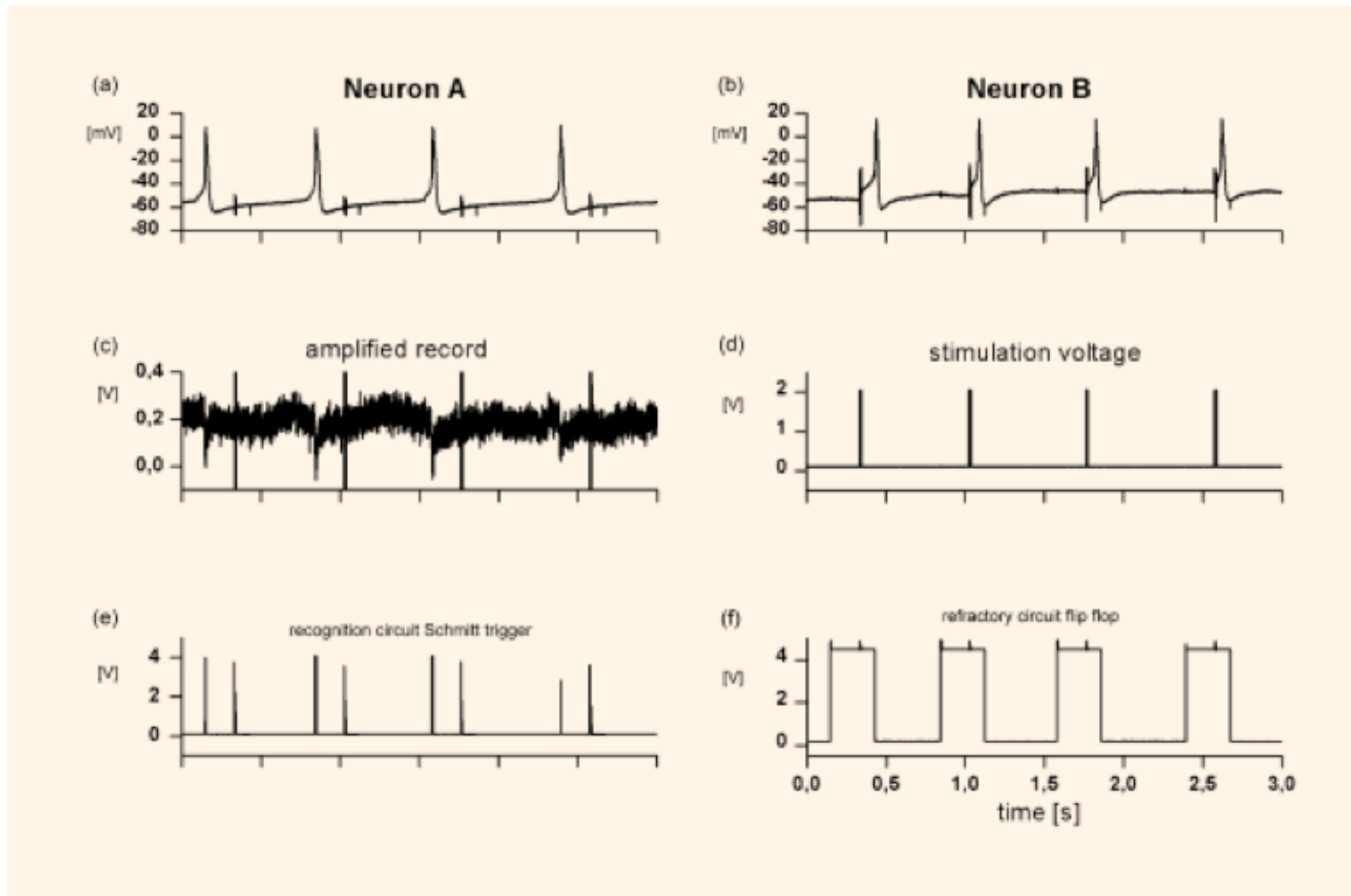
Il est possible de relier deux neurones

Détection des PA par le TEP

Stimulation de PA



Détection / Stimulation

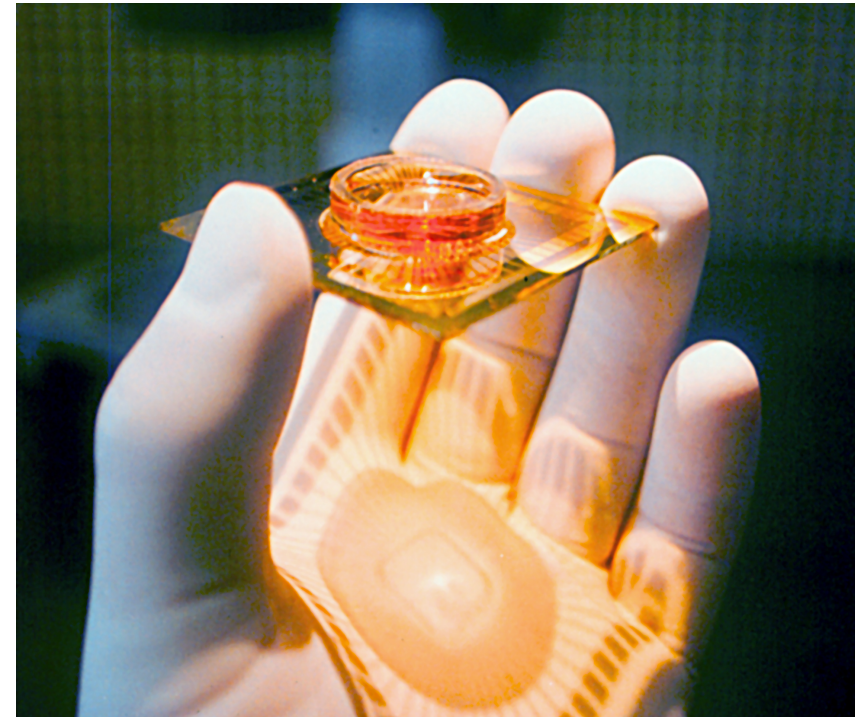


Micro Electrode Arrays

Il existe différents types de réseaux d'électrodes suivant leur utilisation :

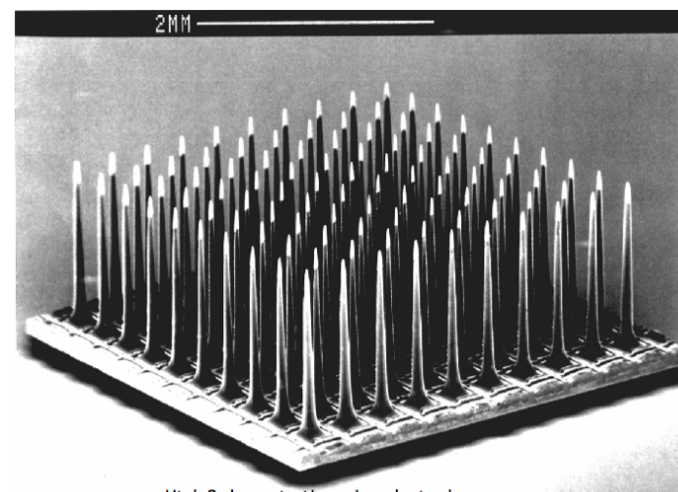
in vitro

Matrices (8x8) à plat sur substrat transparent pour culture cellulaire (ou tranches) et visualisation de fluorescence. Electrodes de 10 à 30µm



in vivo

Pour implantation, souples ou rigides (tapis de fakir)



Planar Micro Electrode Arrays

Réseau de microélectrodes pour observer l'activité électrophysiologique de cellules en culture

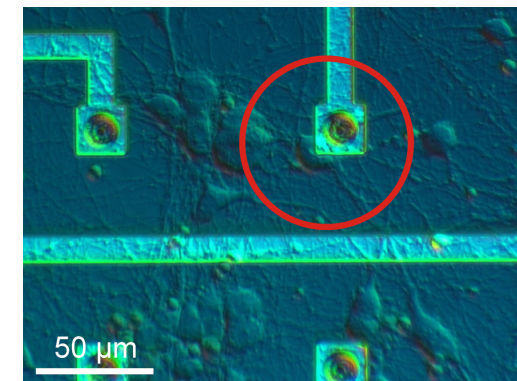
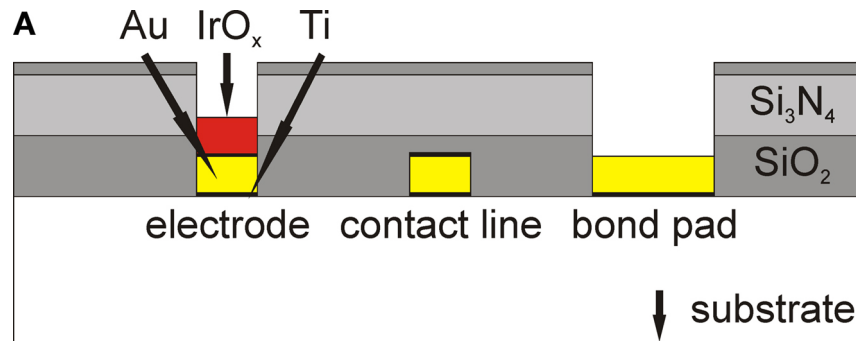
Substrat : Verre, silicium

Electrodes : Or, noir de platine, nitrure de titane (nanoporosité, impédance)

Interconnexions : ITO (Indium TiN Oxyde) : transparence

Isolation : SiO_2 , Si_3N_4 , Polyimide, Polyacrylamide, SU-8 (biocompatibilité)

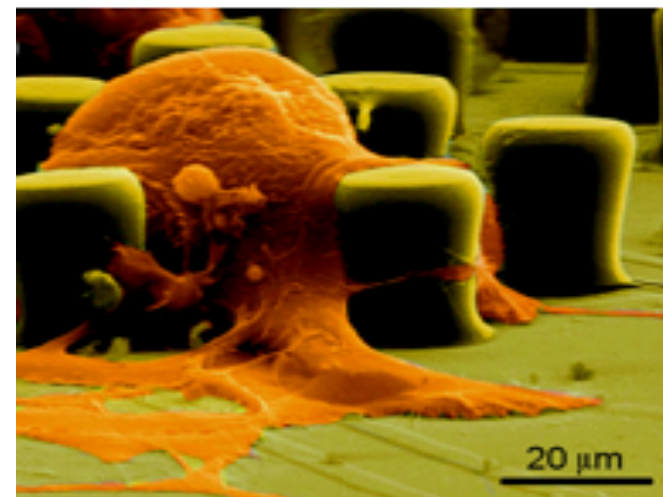
Couche d'adhérence : Poly-Lysine, Laminin,



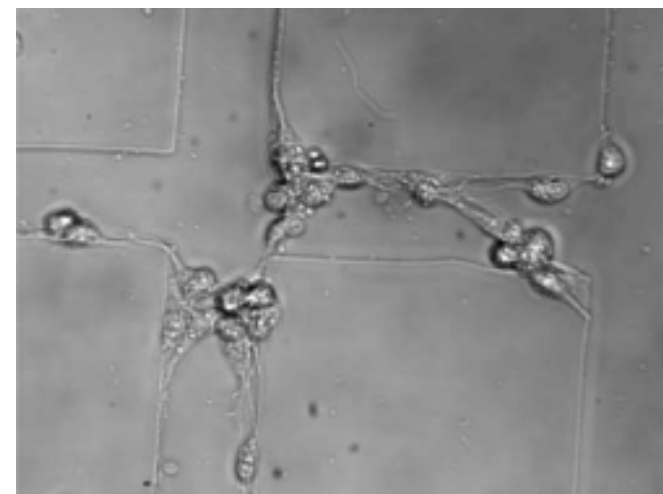
Planar Micro Electrode Arrays

Immobilisation des cellules

Micro-fabricated pickets (green) with a neuron (orange) trapped in the middle.

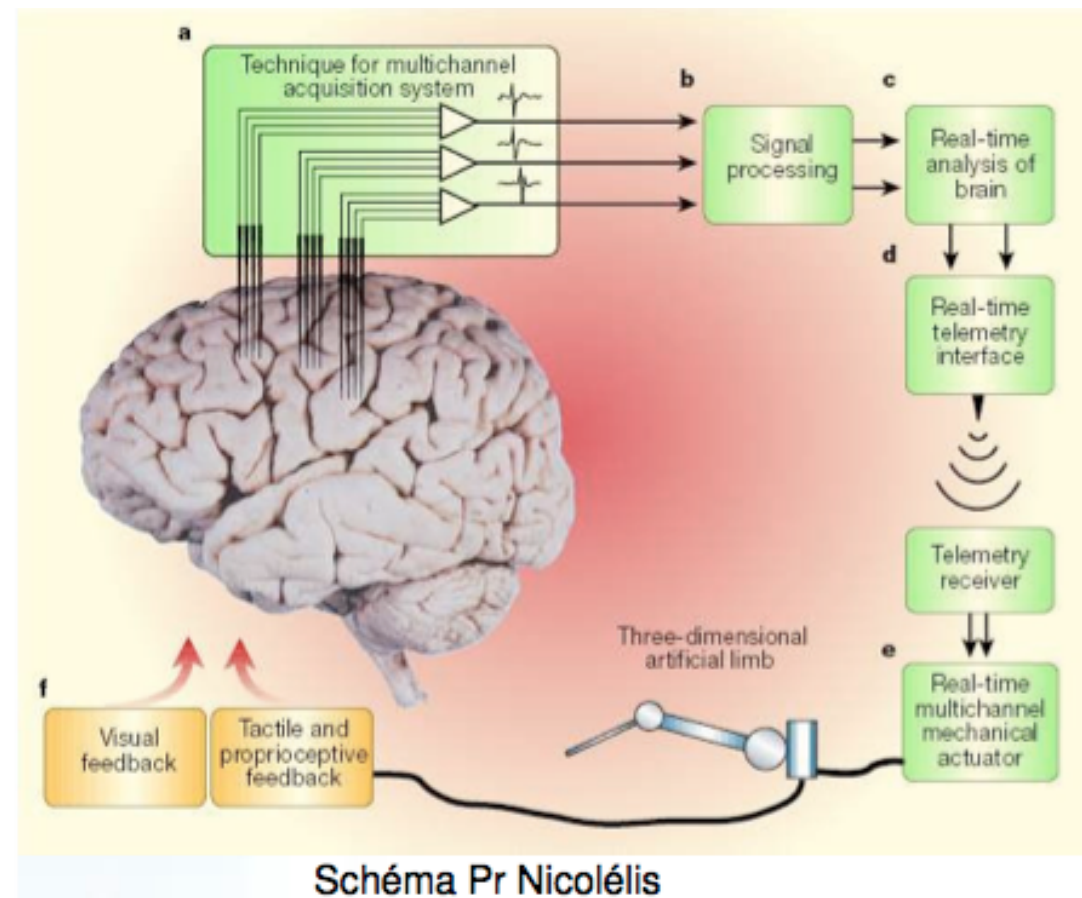


Neurons cultured on cell adhesive molecules immobilized on micro-stamped surface.



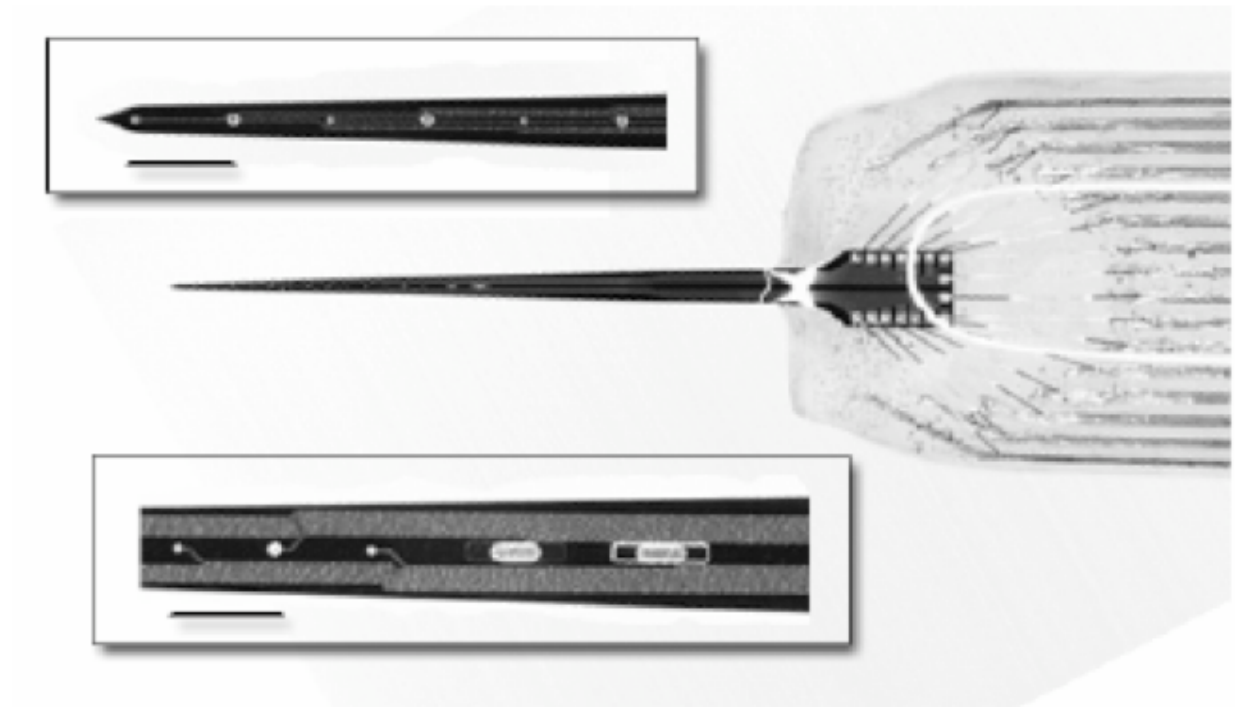
Micro Electrodes Implantables

BCI : Brain Computer Interface
Commande par la pensée

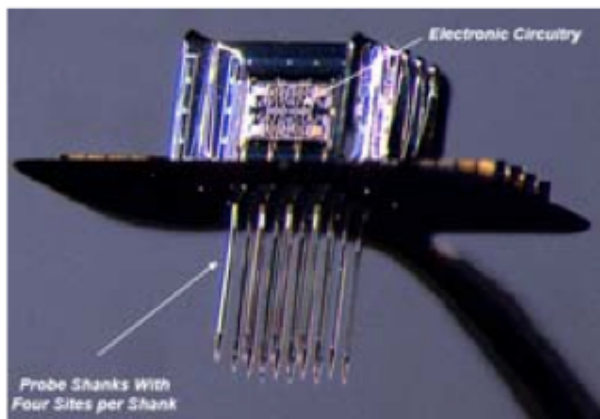
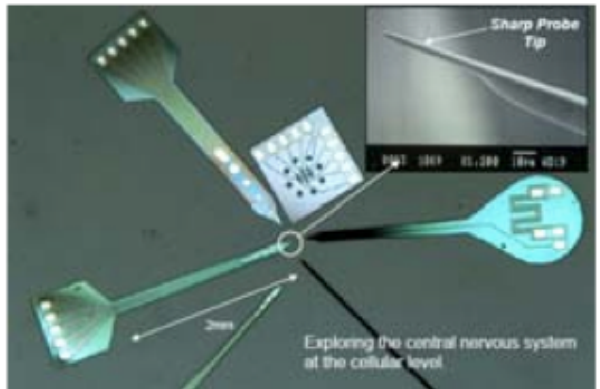


Micro Electrodes Implantables

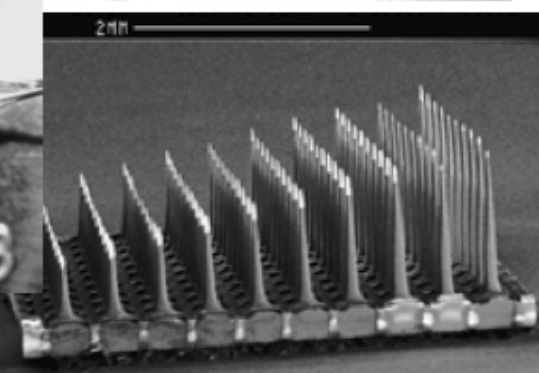
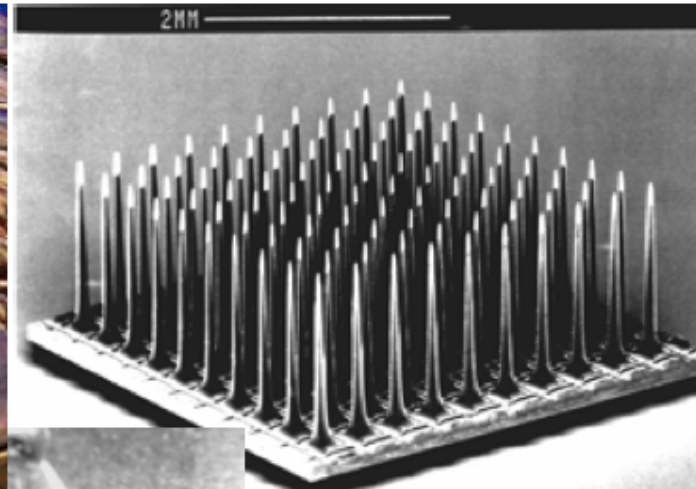
Aiguille unique, plusieurs électrodes



Micro Electrodes Implantables

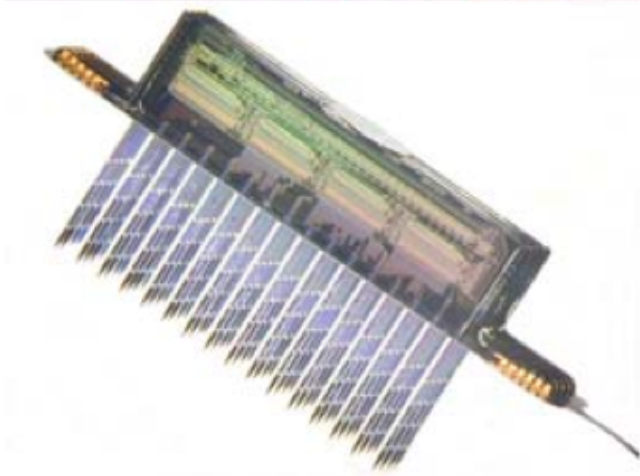


"Michigan Probe" (Ken Wise, UM).
Marketed by NeuroNexus
Technologies.

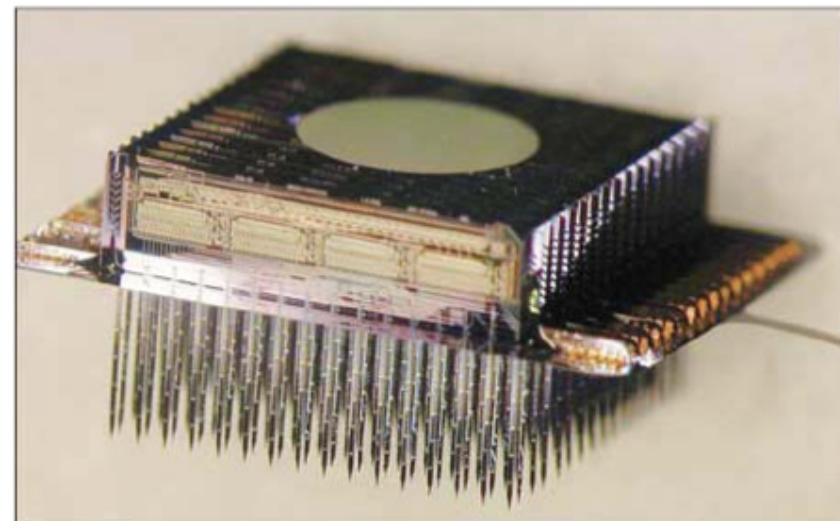


"Utah Array" (Greg Clark, et al., Univ Utah). Marketed by
Cyberkinetics, Inc.

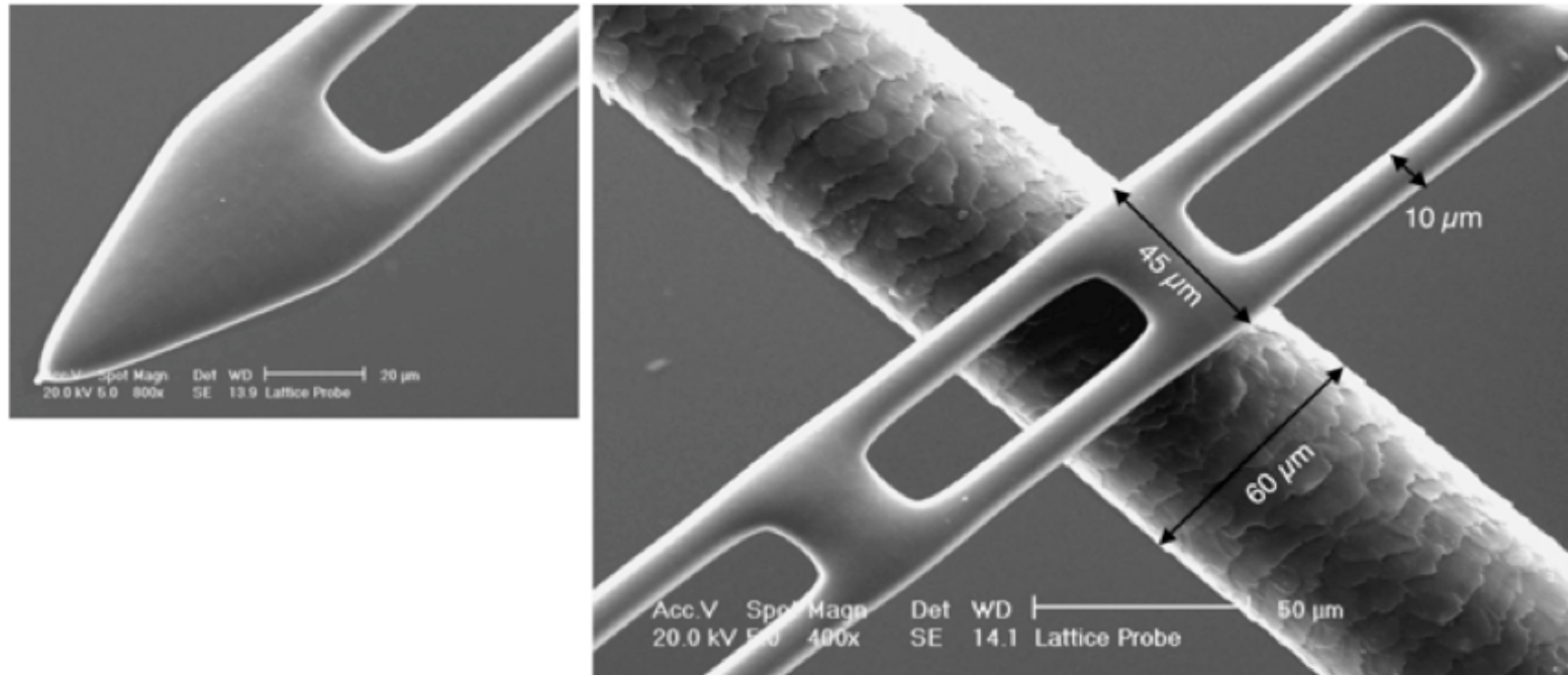
Micro Electrodes Implantables



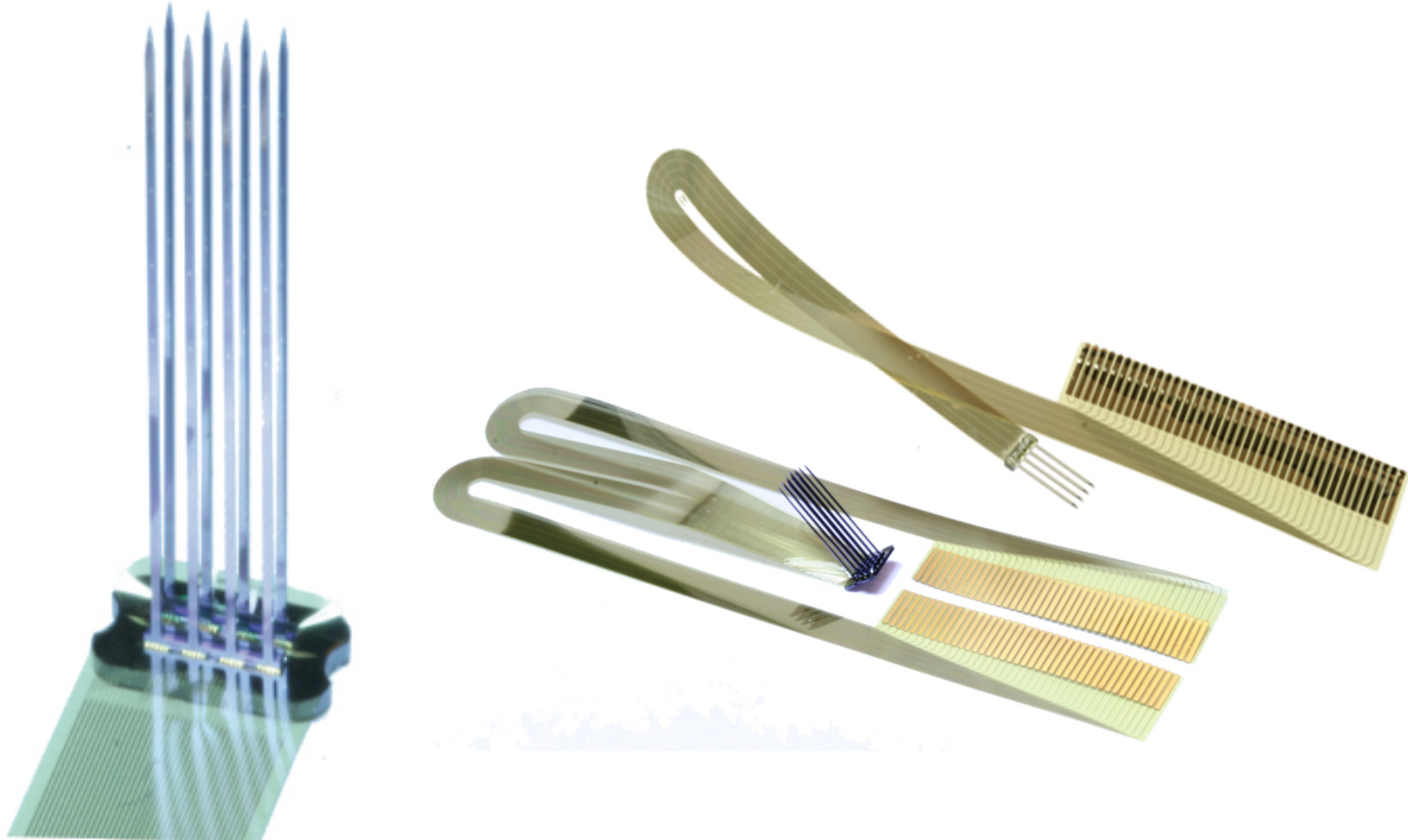
"Microelectrodes, Microelectronics, and Implantable Neural Microsystems,"
Kensall D. Wise, Amir M. Sodagar, Ying Yao, Mayurachat Ning Gulari, Gayatri E.
Perlin, and Khalil Najafi, Proceedings of the IEEE | Vol. 96, No. 7, July 2008.



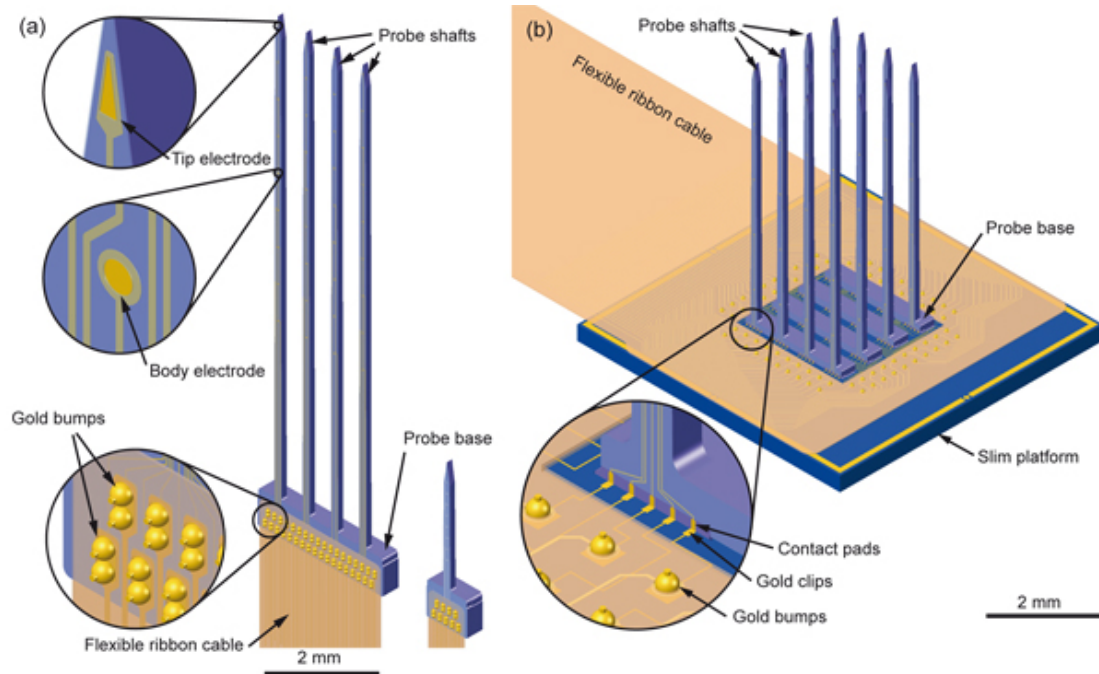
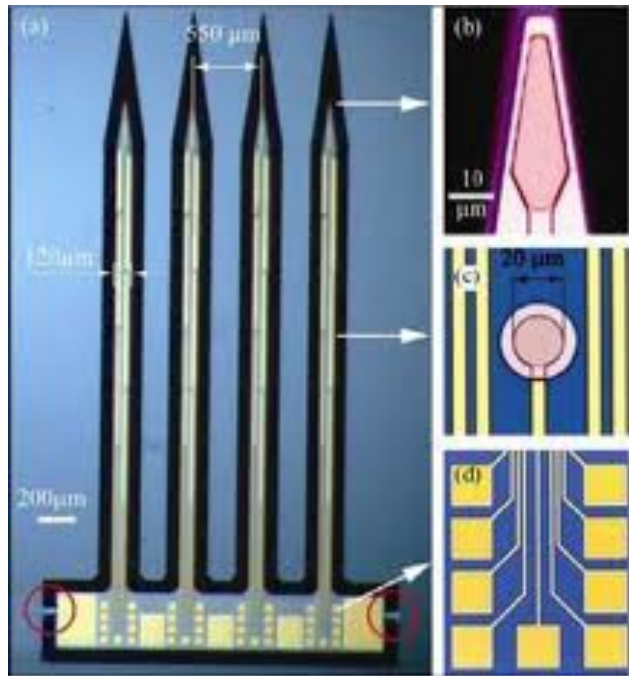
Micro Electrodes Implantables



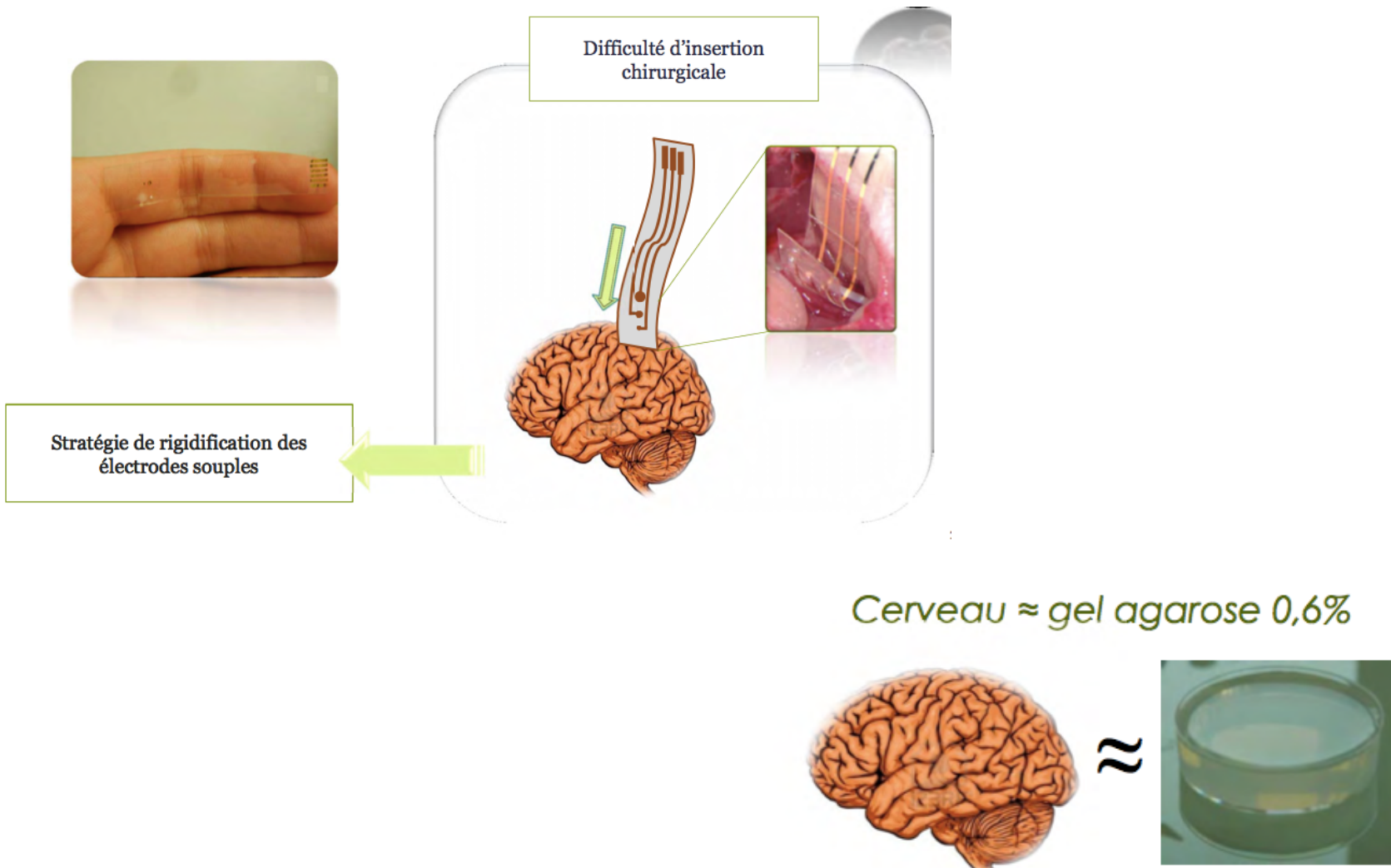
Implantable brain micro electrodes



Implantable brain micro electrodes



Implantable brain micro electrodes

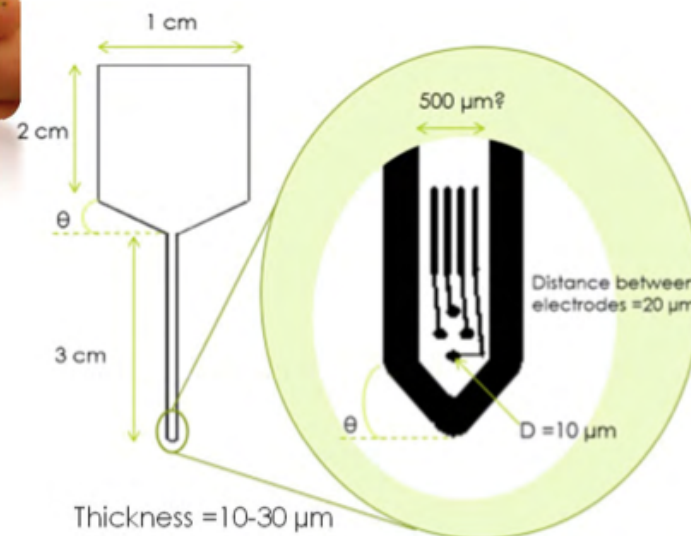


Implantable brain micro electrodes

E.Descamps, LAAS Toulouse



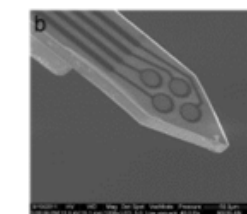
Design pour l'implantation



Connecteur



Dans la littérature



Altuna, Biosens and Bioelec (2012)

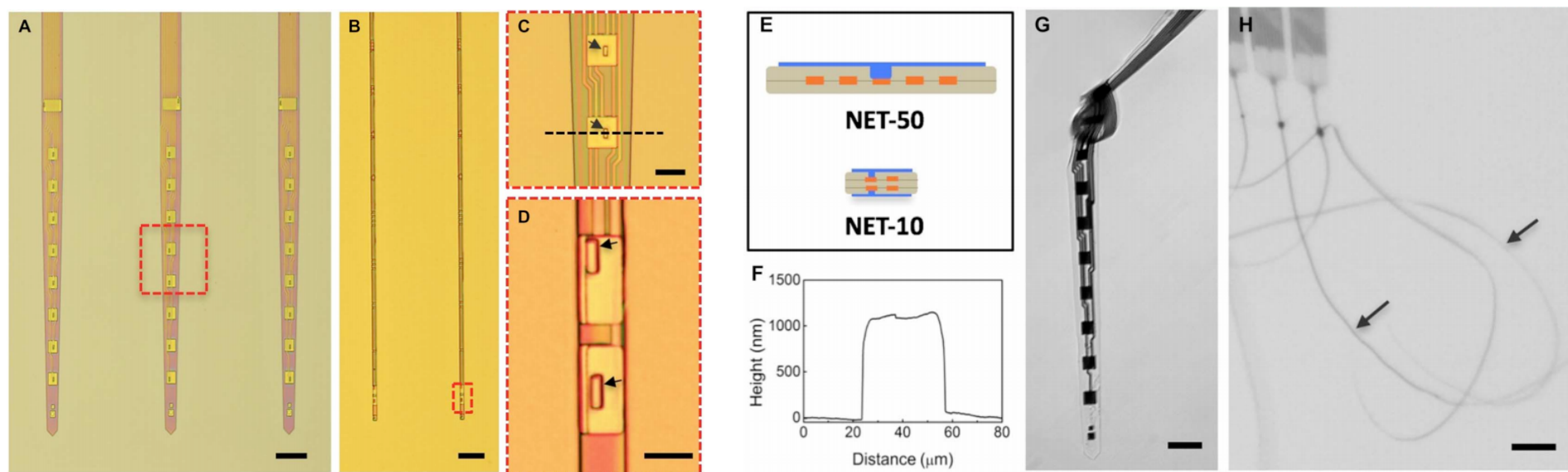
Implantable brain micro electrodes

Ultra thin (1 μ m) microelectrode made with SU8 photoresist

Deformable and implantable with metal fiber guide.

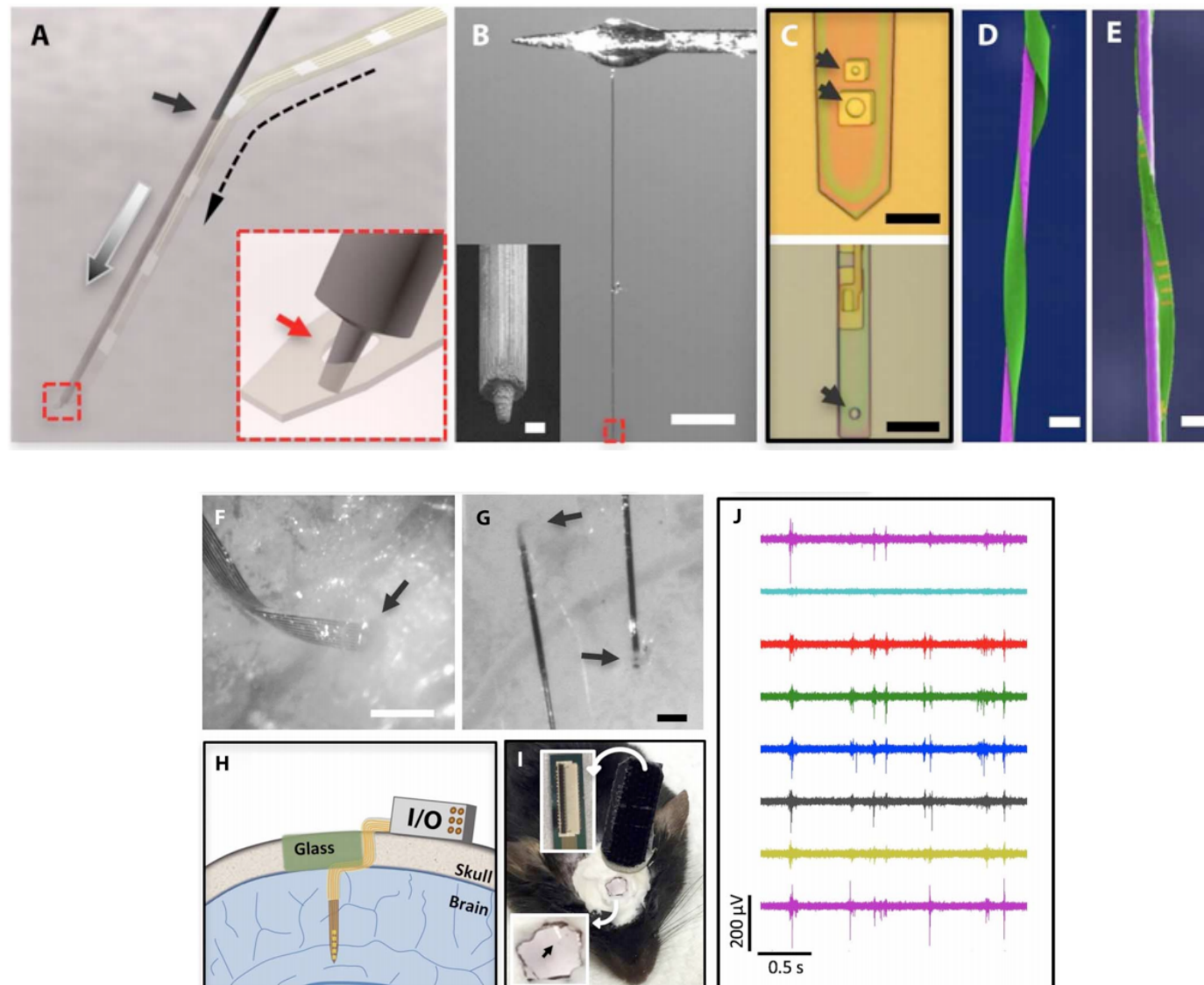
subcellular dimensions

glial scar-free neural integration



L.Luan et al. Ultraflexible nanoelectronic probes form reliable, glial scar–free neural integration, Sci. Adv. 2017;3: e1601966

Implantable brain micro electrodes



Références

Nanoelectronics and Information technology.
Wiley-VCH 781-810

Peter FROMHERZ

Neuroelectronic interfacing: Semiconductor
chips with ion channels, nerve cells, and
brain